

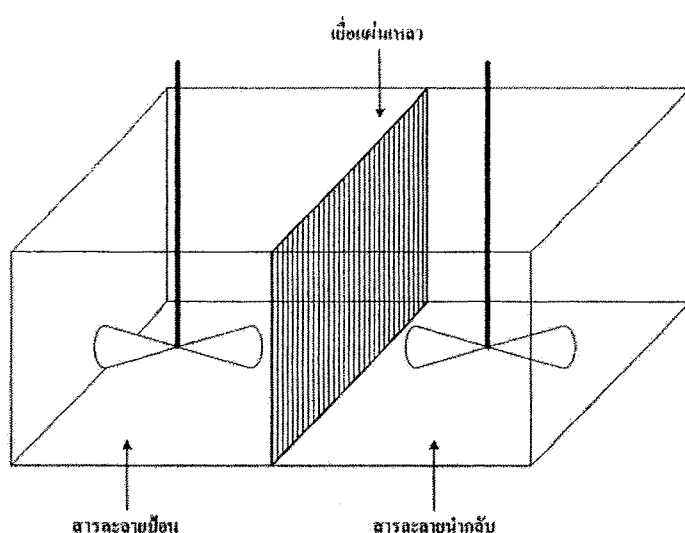
## บทที่ 5

### การสร้างแบบจำลองทางคณิตศาสตร์

แบบจำลองทางคณิตศาสตร์ขึ้นอยู่กับมุ่งมองของแต่ละกลุ่มนักวิจัย ในหนังสือนี้ จะพยายามอธิบายถึงการสร้างแบบจำลองทางคณิตศาสตร์ที่จะนำไปสู่การคำนวณหาค่าเบอร์เซ็นต์ การสกัดและเบอร์เซ็นต์การนำกลับเริ่มต้นด้วยการใช้มอดูลประเภทเยื่อแผ่นเหลวที่มีตัวพยุงชนิดราบ (flat supported liquid membrane หรือ supported liquid membrane, SLM) ซึ่ง Huang และคณะจากประเทศไทยได้สร้างแบบจำลองทางคณิตศาสตร์ ต่อมา Pancharoen และคณะจากประเทศไทยได้สร้างแบบจำลองทางคณิตศาสตร์ด้วยการใช้มอดูลของระบบเยื่อแผ่นเหลวที่พยุงด้วยเส้นไอกลาง (hollow fiber supported liquid membrane, HFSLM)

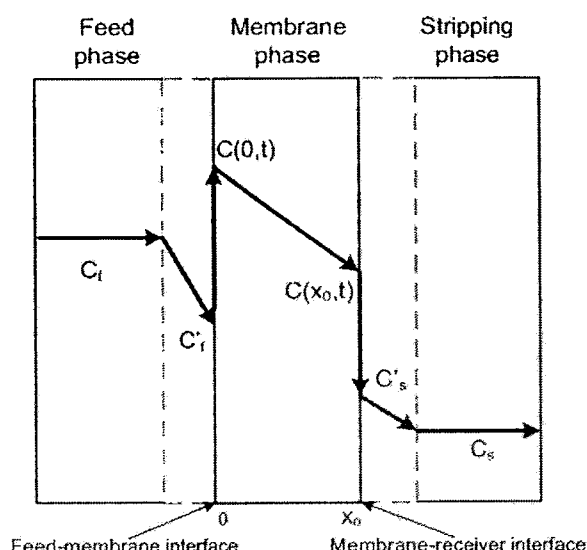
#### 5.1 แบบจำลองทางคณิตศาสตร์ของเยื่อแผ่นเหลวที่มีตัวพยุงชนิดราบ

สำหรับวิธีการแยกไฮอนิโอละหรือโลหะผ่านระบบเยื่อแผ่นเหลวที่มีตัวพยุงด้วยชนิดราบ การทำงานจะประกอบไปด้วยถังบรรจุของเหลวซึ่งมีพนังกั้นแบ่งออกเป็นสองส่วน สำหรับของเหลวเพื่อไม่ให้ปะปนกัน ส่วนที่เป็นพนังกั้นคือเยื่อแผ่นชนิดราบ ในแต่ละส่วนจะมีตัวกวานดังแสดงรายละเอียดไว้ในรูปที่ 5.1 เพื่อให้ง่ายต่อการทำความเข้าใจของระบบการทำงาน



รูปที่ 5.1 ถังอุปกรณ์ที่ใช้ในการสกัด/แยกไฮอนิโอละผ่านเยื่อแผ่นเหลวที่มีตัวรองรับชนิดราบ

โดยท้าไปของเหลวที่เป็นสารละลายน้ำกับรวมทั้งเยื่อแผ่นเหลว ชนิดรานสารคัดกรายละเอียด เพื่อใช้ในการคำนวณดังรูปที่ 5.2 ซึ่งกำหนดให้วัสดุทั้ง 3 ของระบบประกอบด้วย วัสดุสารละลายน้ำ (feed phase) วัสดุเยื่อแผ่นเหลว (membrane phase) และวัสดุสารละลายน้ำกับ (strip phase) ซึ่งไม่ปะปนกัน วงเรียงกันจากซ้ายไปขวาดังรูป นอกเหนือไปยังกำหนดให้มีเส้นประทายผ่านของวัสดุสารละลายน้ำกับ และผ่านของวัสดุสารละลายน้ำกับ โดยที่ระยะห่างระหว่างเส้นประทายแต่ละผ่าน ถึงขอบวัสดุเยื่อแผ่นเหลวหมายถึงชั้นบาง ( $\delta$ ) ซึ่งต่างกันค่าความเข้มข้นของไอออนโลหะในแต่ละวัสดุเปลี่ยนแปลง (ไม่คงที่) กำหนดให้ระยะนี้เกนน่อนหมายถึง ความหนาของวัสดุเยื่อแผ่นเหลว ซึ่งเริ่มต้นจากค่า 0 จนถึง  $X_0$



รูปที่ 5.2 แสดงผังการกระจายเชิงเส้นของความเข้มข้นของไอออนโลหะในวัสดุสารละลายน้ำกับในวัสดุเยื่อแผ่นเหลว และในวัสดุสารละลายน้ำกับ

ในการสร้างแบบจำลองทางคณิตศาสตร์ของระบบในรูปที่ 5.2 นี้ต้องยุบรวมตัวกันดังนี้

- ระบบที่จำลองมาคำนวณนี้สารละลายน้ำในแต่ละวัสดุพสมเป็นเนื้อเดียวกันและมีความเข้มข้นสม่ำเสมอในทุกทิศทางของแต่ละวัสดุจะประปฎิบัติการภายใต้อุณหภูมิคงที่
- สมบัติทางกายภาพและทางการถ่ายเทน้ำมีค่าคงที่
- วัสดุเยื่อแผ่นเหลวแยกส่วนโดยสมบูรณ์ไม่ผสมเป็นเนื้อเดียวกันกับวัสดุสารละลายน้ำ

- (ก) ปริมาตรของวัตถุภาคเยื่อแผ่นเหลวมีค่าน้อยมากเมื่อเทียบกับปริมาตรของทั้งวัตถุภาคสารละลายปืนและวัตถุภาคสารละลายน้ำกลับ
- (จ) กำหนดให้อัตราการเกิดปฏิกิริยาการสกัดที่ทำให้เกิดสารประกอบเชิงช้อนในวัตถุภาคเยื่อแผ่นเหลวมีความรวดเร็วมากพอที่จะไม่ต้องนำอาอิทิพลงปฏิกิริษาความด้านหน้าที่เกิดขึ้นของระบบนาคิดคำนวณ
- (ฉ) กำหนดให้ไอออนโลหะผสมคือ โลหะ D และโลหะ L

กลไกการแพร่ของความเข้มข้นของไอออนโลหะผสมที่ต้องการสกัดแสดงไว้ในรูปที่ 5.2 นี้ จำแนกขั้นตอนของการตั้งสมการต่างๆ ดังนี้

ขั้นที่ 1 การถ่ายเทนวัตถุสารจากวัตถุภาคสารละลายปืนที่ผ่านจากชั้นบาง (film) ไปยังผิวสัมผัสระหว่างวัตถุภาคสารละลายปืนและวัตถุภาคเยื่อแผ่นเหลวค่าของฟลักซ์ (flux) สามารถเขียนได้ว่า

$$J_f = k_f(C_f - C'_f) \quad (5.1)$$

ขั้นที่ 2 การเกิดสารประกอบเชิงช้อนที่ผิวสัมผัสสามารถเขียนสมการเพื่อหาค่าของฟลักซ์ได้ คือ

$$J_{r1} = k_1 C'_f - k_{-1} C(0, t) \quad (5.2)$$

ขั้นที่ 3 การที่สารประกอบเชิงช้อนแพร่ซึมผ่านชั้นของวัตถุภาคเยื่อแผ่นเหลวจากผิวสัมผัสด้านหนึ่ง (ด้านที่ติดกับวัตถุภาคสารละลายปืน) ไปสู่ผิวสัมผัสอีกด้านหนึ่ง (ด้านที่ติดกับวัตถุภาคสารละลายน้ำกลับ) สามารถเขียนเป็นสมการได้ดังนี้

$$J_{m1} = -De \left[ \frac{\partial C(0,t)}{\partial x} \right] \quad (5.3)$$

$$J_{m2} = -De \left[ \frac{\partial C(x_0,t)}{\partial x} \right] \quad (5.4)$$

ขั้นที่ 4 เป็นการคืนตัวจากสารประกอบบนเชิงช้อน ผิวสัมผัสระหว่างวัสดุภาคเยื่อแผ่นเหลว และวัสดุภาคสารละลายน้ำกลับ จากปฏิกิริยาการนำกลับสารรถเขียนสมการของฟลักซ์ได้เป็น

$$J_{r1} = k_{-2}C(x_0, t) - k_2 C'_s \quad (5.5)$$

ขั้นที่ 5 การถ่ายเทน้ำของไออ่อนโลหะจากผิวสัมผัสผ่านชั้นบาง (film) ไปสู่วัสดุภาคสารละลายน้ำกลับ สมการของฟลักซ์เขียนได้ว่า

$$J_s = k_s(C'_s - C_s) \quad (5.6)$$

ทั้งนี้	$x_0$	คือ ค่าความหนาของวัสดุภาคเยื่อแผ่นเหลว (cm)
	$x$	คือ ระยะความหนาใดๆ ของวัสดุภาคเยื่อแผ่นเหลว (cm)
	$t$	คือ เวลา (sec)
	$C$	ค่าความเข้มข้นของไออ่อนโลหะ (g/L)
$k_{ij}$ ( $k_{2j}$ ) และ $k_{-1j}$ ( $k_{-2j}$ )		คือ ค่าคงที่อัตราการเกิดปฏิกิริยาไปข้างหน้าและย้อนกลับตามลำดับ
$k_f$ และ $k_s$		คือ ค่าสัมประสิทธิ์การถ่ายเทน้ำ (mass transfer coefficient) ในชั้นขอบเขตของการสกัดและชั้นขอบเขตของการนำกลับตามลำดับมีค่าเป็น

$$k_f = \frac{1.25D_f}{d_0} \left( Re \frac{d_0}{L} \right)^{0.93} Sc^{0.33} \quad (5.7)$$

$$k_s = 1.165 \frac{D_s}{d_i} \left( Re Sc \frac{d_i}{L} \right)^{1/3} \quad (5.8)$$

โดยที่	$d$	คือ เส้นผ่านศูนย์กลางของท่อกลวง (cm)
	$L$	คือ ความยาวของเส้นไอกลวง (cm)
	$D$	คือ free bulk diffusion coefficient ซึ่งคำนวณได้โดยสมการของ Wilke-Chang
	$D_e$	คือ ค่า effective diffusivity ในวัสดุภาคเยื่อแผ่นเหลว หาได้ดังสมการ

$$D_e = D \cdot \varepsilon' / \tau' \quad (5.9)$$

$$D = 7.4 \times 10^{-8} (\varphi M_B)^{0.5} T / (\mu_B V_A^{0.6}) \quad (5.10)$$

โดยที่  $\varepsilon$  คือค่า porosity ของเยื่อแผ่นเหลว

จากนั้นจะอาศัยกฎของคุณภาพสาร (mass balance หรือ conservation of mass) จะสามารถหาความสัมพันธ์ของมวลสาร ได้ดังนี้

$$V_f C_{f0} + V_s C_{s0} = V_f C_f + V_s C_s + V_m C_m \quad (5.11)$$

$$\text{และ } C_m = C_f K_{e1} = C_s K_{e2} \quad (5.12)$$

ทั้งนี้ ค่า  $K_{e1}$  เป็นค่าสมดุลคงที่อันเนื่องมาจากปฏิกิริยาการสกัดระหว่างวัสดุภาคสารและลายปืนและวัสดุภาคเยื่อแผ่นเหลว

และค่า  $K_{e2}$  เป็นค่าสมดุลคงที่อันเนื่องมาจากปฏิกิริยาการนำกลับระหว่างวัสดุภาคสารและลายนำกลับและวัสดุภาคเยื่อแผ่นเหลว

จากสมมติฐานที่กำหนดให้  $V_m$  มีค่าน้อยมาก เมื่อเทียบกับ  $V_f$  และ  $V_s$  ดังนั้นจากสมการที่ (5.11) และ (5.12) สามารถคำนวณหาค่า

$$C_m = \frac{V_f C_{f0} + V_s C_{s0}}{V_f / K_{e1} + V_s / K_{e2}} \quad (5.13)$$

$$C_f = \frac{V_f C_{f0} + V_s C_{s0}}{V_f + V_s K_{e1} / K_{e2}} \quad (5.14)$$

$$C_s = \frac{V_f C_{f0} + V_s C_{s0}}{V_s + V_f K_{e2} / K_{e1}} \quad (5.15)$$

ในสภาวะ transition สมการที่จะแสดงความเข้มข้นของไอออน โลหะสามารถเขียนได้ในแต่ละช่วง โดยแยกแจงได้ดังนี้

ในช่วงของวัสดุภาคเยื่อแผ่นเหลว:

$$\frac{\partial C_j}{\partial t} = D_e \frac{\partial^2 C_j}{\partial x^2} \quad (0 < x < x_0) \quad (5.16)$$

โดยมีข้อมูลที่จะกำหนดได้ว่า ณ ตำแหน่งที่

$$t = 0, C_j = 0 \quad (0 < x < x_0) \quad (5.16a)$$

และ

$$t \rightarrow \infty \quad C_j = \frac{V_f C_{f0j} + V_s C_{s0j}}{V_f/K_{e1j} + V_s/K_{e2j}} \quad (0 < x < x_0) \quad (5.16b)$$

โดยที่

$$x = 0 \quad D_e \frac{\partial C_j(0,t)}{\partial x} = k_f [C_j(0,t) \left( \frac{k_{-1j}}{k_{1j}} \right) - C_{fj}] \quad (t > 0) \quad (5.16c)$$

และ

$$x = x_\varphi \quad D_e \frac{\partial C_j(x_0,t)}{\partial x} = k_s [C_{sj} - C_j(x_0,t) \left( \frac{k_{-2j}}{k_{2j}} \right)] \quad (t > 0) \quad (5.16d)$$

ในช่วงของวัสดุภาชนะละลายป้อน:

$$V_f \frac{dC_{fj}}{dt} = A \cdot D_e \frac{\partial C_j(0,t)}{\partial x} \quad (5.17)$$

ณ ตำแหน่งที่

$$t = 0, C_{fj} = C_{f0j} \quad (5.17a)$$

และ

$$t \rightarrow \infty \quad C_{fj} = \frac{V_f C_{f0j} + V_s C_{s0j}}{V_f + V_s K_{e1j}/K_{e2j}} \quad (5.17b)$$

ในช่วงของวัสดุภาชนะละลายนำกลับ:

$$V_s \frac{dC_{sj}}{dt} = -A \cdot D_e \frac{\partial C_j(x_0,t)}{\partial x} \quad (5.18)$$

ณ ตำแหน่งที่

$$t = 0, C_{sj} = C_{s0j} \quad (5.18a)$$

และ

$$t \rightarrow \infty \quad C_{sj} = \frac{V_f C_{f0j} + V_s C_{s0j}}{V_s + V_f K_{e2j}/K_{e1j}} \quad (5.18b)$$

ค่า A ในสมการที่ (5.17) และ (5.18) คือพื้นที่ (เนลลี่) ของวัสดุภาคเยื่อแผ่นเหลว

จากนี้จะแปลงค่าคัวแปรต่างๆ ไปสู่ระบบไร้หน่วย (dimensionless) โดยกำหนดให้

$$y = \frac{x}{x_0} \quad \text{คือ ความหนาของวัสดุภาคเยื่อแผ่นเหลว ณ เวลาใดๆ}$$

$$\tau = D_e \cdot \frac{t}{x_0^2} \quad \text{คือ เวลา ณ เวลาใดๆ}$$

$$E_{fj} = \frac{C_{fj}}{C_{foj}} \quad \text{คือ ความเข้มข้นของไอออนโลหะในสารละลายป้อน ณ เวลาใดๆ}$$

$$E_{sj} = \frac{C_{sj}}{C_{foj}} \quad \text{คือ ความเข้มข้นของไอออนโลหะในสารละลายนำกลับ ณ เวลาใดๆ}$$

$$E_{mj} = \frac{C_j}{C_{foj}} \quad \text{คือ ความเข้มข้นของไอออนโลหะในเยื่อแผ่นเหลว ณ เวลาใดๆ}$$

$$\beta = \frac{C_{soj}}{C_{foj}} \quad \begin{aligned} &\text{คือ ความเข้มข้นของไอออนโลหะในสารละลายนำกลับ ณ เวลาเริ่มต้น} \\ &\text{ของไอออนโลหะในสารละลายนำกลับ ณ เวลาเริ่มต้น} \end{aligned}$$

กำหนดให้  $K_{e1j} = \frac{k_{1j}}{k_{-1j}}$  และ  $K_{e2j} = \frac{k_{2j}}{k_{-2j}}$  ซึ่งหมายถึงอัตราส่วนระหว่าง “อัตราคงที่ของปฏิกิริยาไปข้างหน้า” ต่อ “อัตราคงที่ของปฏิกิริยาขึ้นกลับ” ในวัสดุภาคสารละลายป้อน และวัสดุภาคสารละลายนำกลับตามลำดับ

$$\text{นอกจากนี้ } K_f = k_f \cdot \frac{x_0}{D_e} \quad \text{เป็นค่าสัมประสิทธิ์การถ่ายเทนวัตในชั้นฟิล์มสารละลายป้อน}$$

$$K_s = k_s \cdot \frac{x_0}{D_e} \quad \text{เป็นค่าสัมประสิทธิ์การถ่ายเทนวัตในชั้นฟิล์มสารละลายนำกลับ}$$

$$\gamma_f = A \cdot \frac{x_0}{V_f} \quad \text{เป็นพื้นที่ผิวสัมผัสวัสดุภาคเยื่อแผ่นเหลวภายในห้อง}$$

$$\gamma_s = A \cdot \frac{x_0}{V_s} \quad \text{เป็นพื้นที่ผิวสัมผัสวัสดุภาคเยื่อแผ่นเหลวที่ชั้นเปลือก}$$

และจะได้ความสัมพันธ์ที่สามารถกำหนดค่าได้ง่าย คือ  $\frac{\gamma_f}{\gamma_s} = \frac{v_s}{v_f}$

จากนั้นหากจะนำค่าตัวแปรต่างๆ ซึ่งผ่านการแปลงเป็นตัวแปรที่ไร้หน่วยลงแทนค่าในสมการต่างๆ ของแคดลัจภูกาก จะสามารถเขียนสมการและข้อแมตต่างๆ ที่กำหนดขอบเขตของสมการ ได้ดังนี้

วัฏภาคเยื่อแผ่นเหลว:

$$\frac{\partial E_{mj}}{\partial \tau} = \frac{\partial^2 E_{mj}}{\partial y^2} \quad (5.19)$$

$$\tau = 0, \quad E_{mj} = 0 \quad (5.19a)$$

$$\tau \rightarrow \infty \quad E_{mj} = \frac{K_{e1j} \cdot K_{e2j} f(\gamma_s + \beta \gamma_f)}{\gamma_f K_{e1j} + \gamma_s K_{e2j}} \quad (5.19b)$$

$$y = 0, \quad \frac{\partial E_{mj}(0, \tau)}{\partial y} = \frac{E_{mj}(0, \tau) - E_{fj} K_{e1j}}{K_{e1j}/K_f} \quad (5.19c)$$

$$y = 1, \quad \frac{\partial E_{mj}(1, \tau)}{\partial y} = \frac{E_{sj} K_{e2j} - E_{mj}(1, \tau)}{K_{e2j}/K_s} \quad (5.19d)$$

วัฏภาคสารละลายป้อน:

$$\frac{dE_{fj}}{d\tau} = \gamma_f \frac{\partial E_{mj}(0, \tau)}{\partial y} \quad (5.20)$$

$$\tau = 0, \quad E_{fj} = 1 \quad (5.20a)$$

$$\tau \rightarrow \infty \quad E_{fj} = \frac{K_{e2j}(\gamma_s + \beta \gamma_f)}{\gamma_f K_{e1j} + \gamma_s K_{e2j}} \quad (5.20b)$$

### วัฏภาคสารละลายน้ำกลับ:

$$\frac{dE_{sj}}{dt} = \gamma_s \frac{\partial E_{mj}(1,t)}{\partial y} \quad (5.21)$$

$$\tau = 0, E_{sj} = \beta \quad (5.21a)$$

$$\tau \rightarrow \infty \quad E_{sj} = \frac{K_{e1j}(\gamma_s + \beta \gamma_f)}{\gamma_f K_{e1j} + \gamma_s K_{e2j}} \quad (5.21b)$$

จากสมการที่มีตัวแปร “ไร้หน่วยในแต่ละช่วงที่หาได้” คือสมการที่ (5.19), (5.20), (5.21) หากนำเทคนิคของการแปลงสมการที่มีตัวแปรเป็นฟังก์ชัน (function) ของ “เวลา” ให้อยู่ในรูปของ ลาปลาส (laplace transform) และแก้สมการเพื่อหาค่าความเข้มข้นของไอออน โลหะ ไร้หน่วย (dimensionless) ที่เวลาใดๆ ณ ตำแหน่งต่างๆ ในวัฏภาคสารละลายน้ำกลับ วัฏภาคเยื่อแผ่นเหลว และวัฏภาคสารละลายน้ำกลับจะได้ค่าต่างๆดังต่อไปนี้

$$E_{fj} = \frac{K_{e2j}(\gamma_s + \beta \gamma_f)}{\gamma_f K_{e1j} + \gamma_s K_{e2j}} + \frac{\gamma_f(K_{e1j} + \beta K_{e2j})}{\gamma_f K_{e1j} + \gamma_s K_{e2j}} \exp(-\lambda_j \tau) \quad (5.22)$$

$$E_{sj} = \frac{K_{e1j}(\gamma_s + \beta \gamma_f)}{\gamma_f K_{e1j} + \gamma_s K_{e2j}} - \frac{\gamma_s(K_{e1j} + \beta K_{e2j})}{\gamma_f K_{e1j} + \gamma_s K_{e2j}} \exp(-\lambda_j \tau) \quad (5.23)$$

ทั้งนี้ได้ให้ค่านิยามของ “ $\lambda_j$ ” ไว้ว่า

$$\lambda_j = \frac{\gamma_f K_{e1j} + \gamma_s K_{e2j}}{1 + \frac{K_{e1j}}{K_f} + \frac{K_{e2j}}{K_s}} \quad (5.24)$$

และหากว่าในการสกัดนี้มีค่าการเลือกสกัด (selectivity) ร่วมอยู่ด้วย คือหมายถึงการสกัดที่มีไอออน โลหะมากกว่า 1 ชนิดละลายน้ำในสารละลายน้ำ สมมติเช่น ไอออน D และ ไอออน L ดังนั้น จะสามารถคำนวณหาค่า “การแยกองค์ประกอบ (separation factor)” หรือ “ $\alpha$ ” ได้ดังนิยามต่อไปนี้

$$\alpha = \frac{j_D}{j_L} = \frac{E_{sD} - E_{sD0}}{E_{sL} - E_{sL0}} \quad (5.25)$$

และหากนำสมการนี้ไปแทนค่าในสมการที่ (5.21) จากการคำนวณจะได้ค่า

$$\alpha = \frac{\left( \frac{[K_{e1D}(\gamma_s + \beta\gamma_f) - \gamma_s(K_{e1D} - \beta K_{e2D}) \exp(-\lambda_D \tau)]}{(\gamma_f K_{e1D} - \gamma_s K_{e2D})} - E_{sD0} \right)}{\left( \frac{[K_{e1L}(\gamma_s + \beta\gamma_f) - \gamma_s(K_{e1L} - \beta K_{e2L}) \exp(-\lambda_L \tau)]}{(\gamma_f K_{e1L} - \gamma_s K_{e2L})} - E_{sL0} \right)} \quad (5.26)$$

คุณภาพที่ในสารละลายนั้นในวัฏจักรสารละลายน้ำกับของระบบที่ต้องการแยกไอออนโลหะผสม (D และ L) ดังนั้นจากสมการ (5.23), (5.24), และ (5.25) สามารถแปลงรูป และเขียนได้ใหม่ในรูปแบบที่ดูได้ง่ายดังสมการต่อไปนี้

$$\lambda_j = \frac{\gamma_f + \gamma_s}{\frac{1}{K_{e1j}} + \frac{1}{K_f} + \frac{1}{K_s}} \quad (5.27)$$

$$E_{sj} = \frac{\gamma_s}{\gamma_f + \gamma_s} - \frac{\gamma_s}{\gamma_f + \gamma_s} \exp(-\lambda_j \tau) \quad (5.28)$$

$$\alpha = [1 - \exp(-\lambda_D \tau)] / [1 - \exp(-\lambda_L \tau)] \quad (5.29)$$

จากสมการต่างๆ ที่หาได้สามารถสร้างกราฟระหว่าง (ก) “ความเข้มข้นไร้หน่วย (dimensionless concentration)” เพียงกับ “เวลา” (ข) “องค์ประกอบของการแยก (separation factor)” เพียงกับ “เวลา” ซึ่งค่าที่ได้จากการคำนวณนี้สามารถเปรียบเทียบได้กับผลการทดลอง

**ตัวอย่างกรณีศึกษาที่ 5.1:** เรื่องการนำกลับไอออนเพรสซิโอดิเมียม (Praseodymium) ไอออนจากสารละลายน้ำก่อนจากผ่านระบบเยื่อแผ่นเหลวที่พยุงด้วยเส้นไชนิคราน

โจทย์ ในการนำกลับเพรสซิโอดิเมียม (Praseodymium) ไอออนจากสารละลายน้ำก่อนจากสารละลายน้ำก่อนจากผ่านระบบเยื่อแผ่นเหลวที่พยุงด้วยเส้นไชนิคราน โดยใช้ Cyanex 272 เป็นสารสกัดและมีเครื่องเป็นตัวทำละลาย สารละลายน้ำ (มีธาตุที่ต้องการแยกและนำกลับ) ละลายอยู่ในกรดในตระกูลและที่สารละลายน้ำก่อนเป็นกรดเกลือ การทำงานของระบบเป็นการทำงานแบบต่อเนื่องผ่านเส้นไชนิคราน โดยมีข้อมูลเกี่ยวกับผลการทดลองดังนี้

**ตารางที่ 5.1 ความเข้มข้นของสารสกัด Cyanex 272 ที่ 10 % (v/v) ต่อการสกัดไฮอ่อน เพอร์ซิโอดิเมียม**

เวลาในการเก็บตัวอย่าง (นาที)	[Pr <sup>3+</sup> ] ขาดอก (ppm)
0	0
10	138
20	96.6
30	87.4
40	46

**ตารางที่ 5.2 ความเข้มข้นของสารสกัด Cyanex 272 ที่ความเข้มข้นต่างๆ กันต่อการสกัดไฮอ่อน เพอร์ซิโอดิเมียม**

ความเข้มข้น Cyanex 272 % (v/v)	ความเข้มข้น สารละลายน้ำกลับ HCl (ไมลต่อลิตร)	[Pr <sup>3+</sup> ] ขาดอก (ppm)
1	0.6	144.4
5	0.6	100.74
7	0.6	77.51
10	0.6	43.24

ความเข้มข้นของ Pr<sup>3+</sup> ขาเข้า (คงที่) ที่ 230 ppm

**ตารางที่ 5.3 ความเข้มข้นสารละลายน้ำกลับ HCl ที่ 0.6 ไมลต่อลิตรต่อการนำกลับไฮอ่อน เพอร์ซิโอดิเมียม**

เวลาในการเก็บตัวอย่าง (นาที)	[Pr <sup>34</sup> ] ขาดอก (ppm)
0	0
10	92
20	105.8
30	142.6
40	161

ความเข้มข้นของ Pr<sup>3+</sup> ขาเข้าในสารละลายน้ำกลับ (คงที่) ที่ 0 ppm

ตารางที่ 5.4 ความเข้มข้นสารละลายน้ำกลืน HCl ต่อการนำกลับ ไออ่อนเพรซีโอดิเมียม

ความเข้มข้นของ สารละลายน้ำกลืน HCl (ไมล์ลิลิตร)	ความเข้มข้นของ สารสกัด Cyanex 272 %(v/v)	[Pr <sup>3+</sup> ] ขาออก (ppm)
0.1	10	144.4
0.2	10	100.74
0.4	10	77.51
0.6	10	63.94
0.8	10	67.39

ความเข้มข้นของ Pr<sup>3+</sup> ขาเข้าในสารละลายน้ำกลืน (คงที่) ที่ 0 ppm

#### ข้อคำนวณหา

- ก) เปอร์เซ็นต์การสกัดและเปอร์เซ็นต์การนำกลับของ ไออ่อนเพรซีโอดิเมียม
- ข) สัมประสิทธิ์การกระจาย (distribution coefficient) ของ ไออ่อนเพรซีโอดิเมียม
- ค) สัมประสิทธิ์การซึมผ่าน (permeability coefficient) ของ ไออ่อนเพรซีโอดิเมียม
- ง) สัมประสิทธิ์การถ่ายเทมวล (mass transfer coefficient) ในวัสดุภาคสารละลายน้ำ (k<sub>i</sub>) และในวัสดุภาคเยื่อแผ่นเหลว (k<sub>m</sub>)

วิธีทำ ก) การคำนวณหาเปอร์เซ็นต์การสกัดและเปอร์เซ็นต์การนำกลับของ ไออ่อนเพรซีโอดิเมียม ทำได้ดังนี้

$$\text{จากสมการที่ (3.4) เปอร์เซ็นต์การสกัด} = \frac{C_{f0} - C_f}{C_f} \times 100$$

$$\text{และจากสมการที่ (3.5) เปอร์เซ็นต์การนำกลับ} = \frac{C_s}{C_{f0}} \times 100$$

นำข้อมูลที่โจทย์ให้มาจากตารางที่ 5.1 และตารางที่ 5.3 สามารถคำนวณได้ดังนี้

ตารางที่ 5.5 สรุปผลการคำนวณหาค่าเบอร์เซ็นต์การสกัดและเบอร์เซ็นต์การนำกลับ

เวลาในการเก็บตัวอย่าง (นาที)	เบอร์เซ็นต์การสกัด $\frac{C_{f0} - C_f}{C_f} \times 100$	เบอร์เซ็นต์การนำกลับ $\frac{C_s}{C_{f0}} \times 100$
0	0	0
10	40	40
20	58	46
30	62	62
40	80	70

ข) ในการคำนวณหาค่าสัมประสิทธิ์การกระจาย (distribution coefficient)

การคำนวณต้องแบ่งเป็นขั้นตอนย่อยๆ หลายขั้นตอน ก่อนวิธีจะเริ่มต้นคำนวณหาค่าคงที่สมดุลของปฏิกิริยา ( $K_{ex}$ ) ก่อน จากนั้นจึงจะคำนวณหาค่าสัมประสิทธิ์การกระจาย (D) ได้โดยดำเนินการตามขั้นตอนต่อไปนี้

ขั้นตอนที่ 1: ใน การคำนวณหาค่า  $K_{ex}$  จะอาศัยสมการที่ (3.46) เอามาประยุกต์โดยบีบ入 สมการ จากปฏิกิริยาการสกัด Pr ได้ดังนี้



ดังนั้น

$$K_{ex} = \frac{[\text{PrR}_3] \cdot [\text{H}^+]^3}{[\text{Pr}^{3+}] \cdot [\text{HR}]^3} \quad (5.31)$$

นั่นคือ  $K_{ex}$  จะเป็นค่าความชัน (slope) ที่ได้จากการพล็อตระหว่าง  $[\text{Pr}^{3+}][\text{HR}]^3$  บนแกน x กับ  $[\text{PrR}_3][\text{H}^+]^3$  บนแกน y

ตัวอย่างการคำนวณหาค่า  $[\text{Pr}^{3+}]$ ,  $[\text{HR}]^3$ ,  $[\text{PrR}_3]$ ,  $[\text{H}^+]^3$  และความเข้มข้นของ Cyanex 272 ที่ 10 % (v/v) จากข้อมูลในตารางที่ 5.2 ซึ่งแสดงรายละเอียดการคำนวณได้ดังนี้

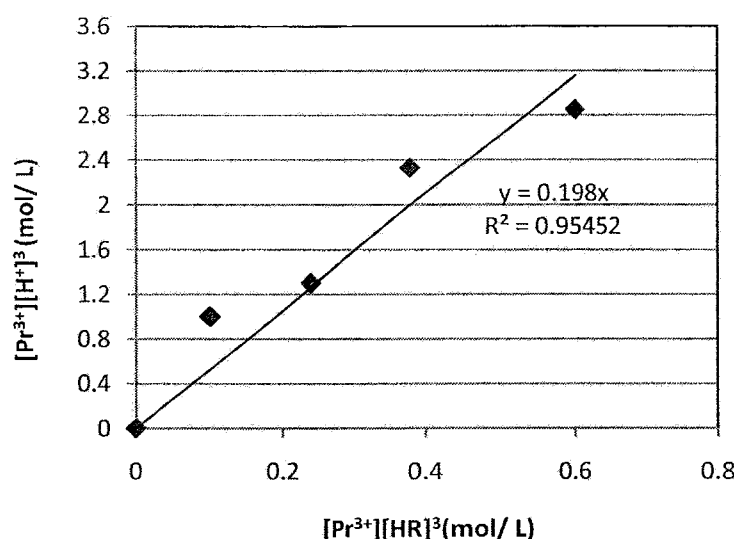
$[\text{Pr}^{3+}]$  คือ ค่าความเข้มข้นของสารละลายป้อนขาเข้าซึ่งคงที่ ที่ 230 ppm ซึ่งแปลงหน่วยเป็น ไมลิลิตร  $1.63 \times 10^{-3}$

- [ $\text{PrR}_3$ ] คือ ค่าความเข้มข้นของสารประizable เชิงช้อนซึ่งมีค่าเท่ากับผลต่างระหว่างสารละลายน้ำยาเข้ากันสารละลายน้ำยาออก =  $230 - 43.24 = 186.76$  ซึ่งแปลงหน่วยเป็นโมลต่อลิตรนิ่ว่าเท่ากับ  $1.32 \times 10^{-3}$
- [HR] คือ ค่าความเข้มข้นของสารสกัด Cyanex 272 ซึ่งเท่ากับ 10 % โดยปริมาตรซึ่งแปลงหน่วยเป็นโมลต่อลิตร มีค่าเท่ากับ 0.172
- [ $\text{H}^+$ ] คือ ความเข้มข้นของสารละลายน้ำกรด HCl ในสารละลายน้ำกลับเท่ากับ 0.6 โมลต่อลิตร

ตารางที่ 5.6 สรุปผลการคำนวณหาค่าความเข้มข้นตามที่กำหนดในสมการที่ (5.31) เพื่อนำไปพิสูจน์หาค่าความเข้มข้น  $K_{\text{ex}}$

ความเข้มข้น Cyanex 272 % (v/v)	$[\text{Pr}^{3+}][\text{HR}]^3$	$[\text{PrR}_3][\text{H}^+]^3$
1	$6.68 \times 10^{-9}$	$1.31 \times 10^{-4}$
5	$8.98 \times 10^{-7}$	$1.98 \times 10^{-4}$
7	$2.61 \times 10^{-6}$	$2.33 \times 10^{-4}$
10	$8.3 \times 10^{-6}$	$2.85 \times 10^{-4}$

ขั้นตอนที่ 2: นำผลจากตารางที่ 5.6 มาสร้างกราฟดังรูปที่ 5.3 เพื่อคำนวณหาค่าความเข้มข้น ซึ่งค่าความเข้มข้น ( $K_{\text{ex}}$ ) ที่หาได้มีค่าเท่ากับ 0.198



รูปที่ 5.3 การสร้างกราฟระหว่างค่า  $[\text{Pr}^{3+}][\text{HR}]^3$  กับ  $[\text{PrR}_3][\text{H}^+]^3$

ขั้นตอนที่ 3: จากสมการที่ (5.31) และสมการที่ (3.48) สามารถนำมาประยุกต์ได้ดังนี้

$$\text{ เพราะว่า } K_{\text{ex}} = \frac{[\text{PrR}_3] \cdot [\text{H}^+]^3}{[\text{Pr}^{3+}] \cdot [\text{HR}]^3}$$

$$\text{ และ } D = \frac{[\text{PrR}_3]}{[\text{Pr}^{3+}]}$$

$$\text{ ดังนั้น } D = \frac{K_{\text{ex}} [\text{HR}]^3}{[\text{H}^+]^3}$$

เมื่อนำค่า  $K_{\text{ex}}$  ที่ได้จากการฟิตเทนค่าในสมการก็จะสามารถคำนวณค่า  $D$  ได้ดังตารางที่ 5.7

ตารางที่ 5.7 สรุปค่าสัมประสิทธิ์การกระจาย ( $D$ ) ที่ความเข้มข้น Cyanex 272 มีค่าอยู่ระหว่าง 1.0-10.0 % (v/v)

Cyanex 272 % (v/v)	1.0	5.0	7.0	10.0
$D (\times 10^2)$	0.04	0.05	0.14	0.46

ค) การคำนวณหาค่าสัมประสิทธิ์การซึมผ่าน (permeability coefficient) ของเพรสซิโอดิเมียน จากสมการที่ (3.13) และ (3.14)

$$-V_f \ln \left( \frac{C_f}{C_{f0}} \right) = AP \frac{\beta}{\beta+1} t \quad (3.13)$$

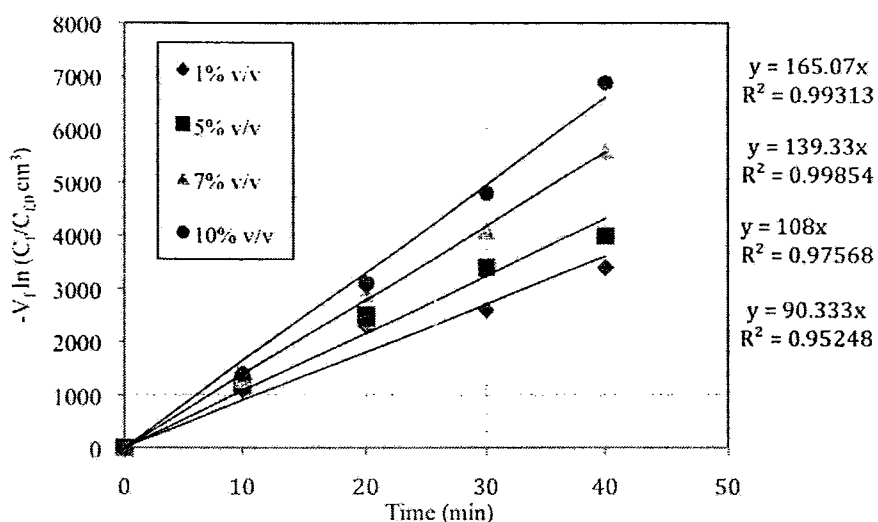
$$\beta = \frac{Q_f}{PL\pi N r_i} \quad (3.14)$$

โดยที่

- P คือ ค่าสัมประสิทธิ์การซึมผ่าน (เซนติเมตรต่อวินาที)
- $C_{f0}$  คือ ความเข้มข้นของไออกอนเพรสซิโอดิเมียนที่เวลาเริ่มต้น (ไมลต์ลิตร)
- $C_f$  คือ ความเข้มข้นของไออกอนเพรสซิโอดิเมียนที่เวลา  $t$  (ไมลต์ลิตร)
- A พื้นที่การถ่ายเทมวล (ตารางเซนติเมตร)
- $V_f$  ปริมาตรของสารละลายน้ำ (ลูกบาศก์เซนติเมตร)
- $Q_f$  อัตราการไหลของสารละลายน้ำ (ลูกบาศก์เซนติเมตรต่อวินาที)
- L ความยาวของเส้นไขกลวง (เซนติเมตร)
- N จำนวนเส้นไขกลวงในมอคูล (เส้น)

$r_i$	คือ รัศมีภัยในของเส้นไอกลาง (เซนติเมตร)
$\varepsilon$	คือ ความพรุนของเส้นไอกลาง
$\pi$	คือ 3.1416

จากข้อมูลในตารางที่ 5.1- ตารางที่ 5.3 นำมาพล็อตกราฟ ระหว่าง  $t$  บนแกน x กับ  $-V_f \ln \frac{C_f}{C_{f,0}}$  บนแกน y จะได้  $AP \frac{\beta}{\beta+1}$  จะเป็นค่าความชัน (slope) ซึ่งแสดงไว้ในรูป 5.4



รูปที่ 5.4 การพล็อตกราฟระหว่าง  $-V_f \ln \frac{C_f}{C_{f,0}}$  กับ  $t$

ที่ความเข้มข้นของสารสกัด Cyanex 272 10 % (v/v) มีค่าความชันเท่ากับ 165.07 ซึ่งคือเทอม  $AP \frac{\beta}{\beta+1}$  และแทนค่าตัวแปรต่างๆ ลงในสมการที่ 3.14 และนำค่า  $\beta$  ที่ได้แทนลงในเทอม  $AP \frac{\beta}{\beta+1} = 165.07$  ดังนี้ค่าสัมประสิทธิ์การซึมผ่านของไอออนเพอร์เซอเดียม (P) ที่ความเข้มข้นของสารสกัด Cyanex 272 10 % (v/v) มีค่าเท่ากับ  $6.365 \times 10^{-2}$  เซนติเมตรต่อวินาทีจากค่าความชันที่หาได้และสมการที่ 3.14 คำนวณ P ได้ค่าดังแสดงไว้ในตารางที่ 5.8

ตารางที่ 5.8 สรุปผลการคำนวณหาค่าสัมประสิทธิ์การซึมผ่าน (P) ที่ความเข้มข้นของ Cyanex 272 ระหว่างช่วง 1.0-10.0% (v/v)

Cyanex 272 % (v/v)	1.0	5.0	7.0	10.0
P ( $\text{cm/s} \times 10^2$ )	2.699	3.812	5.189	6.365

- ๔) การคำนวณหาค่าสัมประสิทธิ์การถ่ายเทนวาล (mass transfer coefficient) ในวัสดุสารละลายน้ำ (k<sub>i</sub>) และในวัสดุสารเยื่อแผ่นเหลว (k<sub>m</sub>)

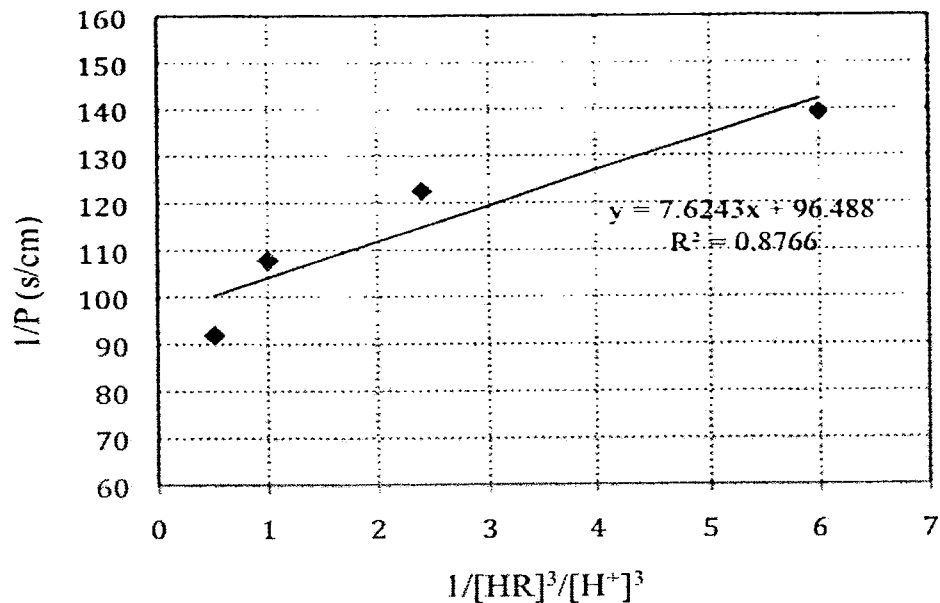
จากสมการ (3.7) นำมาระบุต่อไปนี้

$$\frac{1}{P} = \frac{1}{k_i} + \frac{r_i}{r_{lm}} \cdot \frac{1}{K_{ex} k_m [HR]^3 / [H^+]^3} \quad (5.32)$$

โดยที่! เทอมที่ 3 ซึ่งเป็นค่าความด้านทานการถ่ายเทนวาลในวัสดุสารละลายน้ำกลับมีค่า น้อยมากเมื่อเทียบกับความด้านทานการถ่ายเทนวาลของอีกสองเทอม จึงตัดเทอมที่ 3 ทิ้ง และ กำหนดให้สัญลักษณ์ต่างๆ ในสมการที่ (5.32) แทนความหมายดังนี้

P	คือ ค่าสัมประสิทธิ์การซึมผ่าน (เซนติเมตรต่อวินาที)
k <sub>i</sub>	คือ ค่าสัมประสิทธิ์การถ่ายเทนวาลของสารละลายน้ำ (เซนติเมตรต่อวินาที)
k <sub>m</sub>	คือ ค่าสัมประสิทธิ์การถ่ายเทนวาลของเยื่อแผ่นเหลว (เซนติเมตรต่อวินาที)
r <sub>i</sub>	คือ รัศมีภายในของเส้นไอกลวง (เซนติเมตร)
r <sub>lm</sub>	คือ รัศมี log-mean ของเส้นไอกลวง (เซนติเมตร)
K <sub>ex</sub>	คือ 0.103 (ลิตรต่ำโน้ม) <sup>4</sup>
[HR]	คือ ความเข้มข้นของสารสกัด Cyanex 272 (โน้มล็อตต่อลิตร)
[H <sup>+</sup> ]	คือ ความเข้มข้นของสารละลายน้ำไฮโดรคลอริกในสารละลายน้ำ (โน้มล็อตต่อลิตร)

จากการคำนวณค่าสัมประสิทธิ์การซึมผ่านของไออ่อนเพรซีโอดิเมียม เมื่อเปลี่ยนแปลงค่าความเข้มข้นของสารสกัด Cyanex 272 ในสารละลายน้ำเยื่อแผ่นเหลวในมอคูล ของเส้นไอกลวง สร้างกราฟระหว่าง 1/P กับ  $1/[HR]^3 / [H^+]^3$  แสดงดังรูปที่ 5.5 สามารถ คำนวณหาค่าสัมประสิทธิ์การถ่ายเทนวาลของเยื่อแผ่นเหลว (k<sub>m</sub>) ได้จากความชันของกราฟ ซึ่งที่อุบัติ  $\frac{r_i}{r_{lm}} \cdot \frac{1}{K_{ex} k_m}$  และคำนวณหาค่าสัมประสิทธิ์การถ่ายเทนวาลของสารละลายน้ำ (k<sub>i</sub>) ได้จากจุดตัดแกน 1/P



รูปที่ 5.5 การสร้างกราฟระหว่าง  $1/P$  กับ  $1/[HR]^3/[H^+]^3$

ในการคำนวณค่าสัมประสิทธิ์การถ่ายเทนวอลของเพื่อเผยแพร่ ( $k_m$ )

จากรูปที่ 5.5 จะได้ค่าความชันของกราฟมีค่าเท่ากับ  $7.6 \times 10^{-16} \frac{s/cm}{cm^3/mol}$  따라서  $\frac{r_i}{r_{lm}} \cdot \frac{1}{K_{ex}k_m}$  มีค่าเท่ากับความชัน ซึ่งคือ  $7.6 \times 10^{-16} \frac{s/cm}{cm^3/mol}$  และจากสมการ

$$r_{lm} = \frac{r_o - r_i}{\ln\left(\frac{r_o}{r_i}\right)}$$

โดยที่

$$r_o \text{ คือ รัศมีภายนอกของเส้นไขกลวง } = 150 \times 10^{-4} \text{ เมตร}$$

$$r_i \text{ คือ รัศมีภายนอกของเส้นไขกลวง } = 120 \times 10^{-4} \text{ เมตร}$$

$$\text{ดังนั้น } r_{lm} = \frac{150 \times 10^{-4} - 120 \times 10^{-4}}{\ln\left(\frac{150 \times 10^{-4}}{120 \times 10^{-4}}\right)}$$

$$= 1.34 \times 10^{-2} \text{ เมตร}$$

$$\text{เมื่อแทนค่าต่างๆ ในเทอม} \quad \frac{r_i}{r_{lm}} \cdot \frac{1}{K_{ex} k_m} = 7.6 \times 10^{-16} \frac{s/cm}{(cm^3/mol)}$$

$$\text{จะได้ } k_m = 0.788 \text{ cm/s}$$

นั่นคือค่าสัมประสิทธิ์การถ่ายเทนวลดของเยื่อแผ่นเหลว ( $k_m$ ) มีค่าเท่ากับ 0.788 เซนติเมตรต่อวินาที

ในการคำนวณค่าสัมประสิทธิ์การถ่ายเทนวลดของสารละลายน้ำ ( $k_i$ )

จากรูปที่ 5.5 คำนวณหาค่าสัมประสิทธิ์การถ่ายเทนวลดของสารละลายน้ำ ( $k_i$ ) ได้จาก  
จุดตัดแกนโดยที่จุดตัดแกน  $1/P$  มีค่าเท่ากับ 97.3 ซึ่งคือเทอม  $1/k_i$  จะได้ว่า

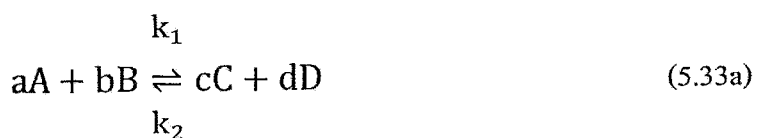
$$\frac{1}{k_i} = 97.3 \text{ s/cm}$$

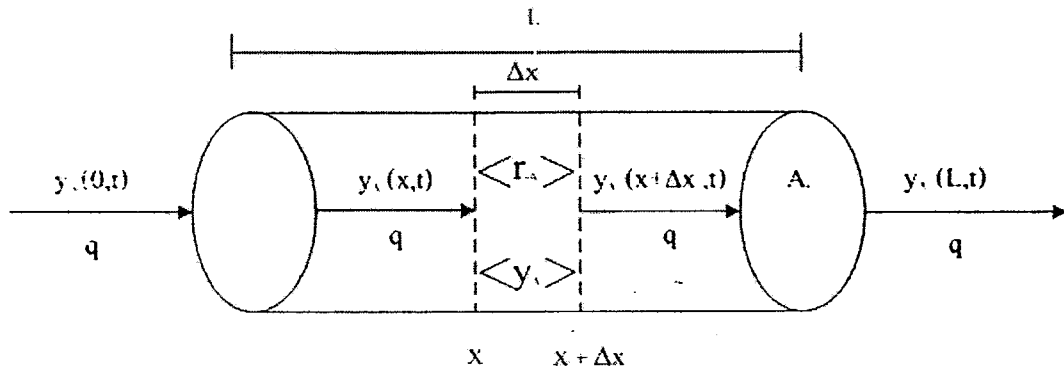
$$k_i = 0.0103 \text{ cm/s}$$

ดังนั้นค่าสัมประสิทธิ์การถ่ายเทนวลดของสารละลายน้ำ ( $k_i$ ) มีค่าเท่ากับ 0.0103 เซนติเมตรต่อวินาที

## 5.2 แบบจำลองทางคณิตศาสตร์ของเยื่อแผ่นเหลวที่พยุงด้วยเส้นไอกลวง

การทำงานของระบบเยื่อแผ่นเหลวที่พยุงด้วยเส้นไอกลวงเครื่องมือมีของระบบแสดงไว้ในรูปที่ 2.11 ทั้งนี้ทางเข้าและออกตามแนวแกนจะเป็นทางเข้าออกของสารละลายน้ำ สำหรับทางเข้าออกที่ชั้นเปลือกจะเป็นทางเข้าออกของสารละลายน้ำกลับ ในการสร้างแบบจำลองทางคณิตศาสตร์สามารถใช้แจงได้ดังรูปที่ 5.6





รูปที่ 5.6 รูปท่อไอกลวงที่มีพื้นที่หน้าตัด “ $A_c$ ” พร้อมรายละเอียดเพื่อใช้สร้างแบบจำลองทางคณิตศาสตร์ในส่วนของการสกัด

ในการผิวที่  $k_1 > k_2$  สมการ (5.33a) สามารถเขียนได้ใหม่เป็น



และจะได้  $r_A(x, t) = ky_A^n(x, t)$  (5.34)

### 5.2.1 แบบจำลองการสกัด

ในการสร้างแบบจำลองทางคณิตศาสตร์ของการสกัดของระบบชั้งแสดงในรูปที่ 5.6 นี้ ต้องยุบรวมตัวฐานดังนี้

- 1) กำหนดให้เส้นผ่านศูนย์กลางภายในและภายนอกของเส้นไอกลวงมีค่าน้อยมาก ดังนี้ ความหนาของวัสดุภาคเยื่อแผ่นเหลวจึงมีค่าน้อยมาก
- 2) กำหนดให้ความเข้มข้นของสารละลายภายในเส้นไอกลวงตามแนวรัศมีมีค่าคงที่
- 3) กำหนดให้ในวัสดุภาคเยื่อแผ่นเหลวจะมีเฉพาะสารประกอบเชิงช้อนของโลหะเท่านั้นที่จะแพร่ซึ่งกันในวัสดุภาคเยื่อแผ่นเหลวจากผนังด้านที่ติดกับวัสดุสารละลายป้อนไปยังผนังอีกด้านที่ติดกับวัสดุสารละลายนำกลับ
- 4) กำหนดให้ผลรวมของปฏิกิริยาเป็นปฏิกิริยาไปข้างหน้า

5) เนื่องจากวัฏภาพของเชื้อแพ่นเหลวบางมาก จึงกำหนดให้ปฏิกิริยาที่เกิดขึ้นในพิษทางตามแนวแกนเท่านั้น และพร้อมกันนี้ มวลฟลักซ์ของไอออนโลหะเกิดขึ้นในพิษทางตามแนวแกน ด้วยอาศัยหลักการของอนุรักษ์มวลสาร (conservation of mass) จะสามารถสร้างสมการจากส่วนเล็กๆ (increment) ของเส้นไขกลวง ที่แสดงไว้ในรูปที่ 5.6 โดยนิรายละเอียดได้ดังนี้

$$\left( \begin{array}{c} \text{อัตราการไหลของมวล} \\ \text{เข้าสู่ระบบ} \end{array} \right) - \left( \begin{array}{c} \text{อัตราการไหลของมวล} \\ \text{ออกจากระบบ} \end{array} \right) - \left( \begin{array}{c} \text{อัตราของมวล} \\ \text{ที่หายไปจากระบบ} \end{array} \right) = \left( \begin{array}{c} \text{อัตราของมวล} \\ \text{ที่สะสมอยู่ในระบบ} \end{array} \right)$$

$$qy_A(x, t) - qy_A(x + \Delta x, t) - <r_{-A}> \cdot \Delta x \cdot A_c = \frac{d<y_A>}{dt} \cdot \Delta x \cdot A_c \quad (5.35)$$

โดยที่	$y_A$	คือ	ความเข้มข้นของสารละลายในห้องไขกลวง
	$q$	คือ	อัตราการไหล
	$A_c$	คือ	พื้นที่หน้าตัด
	$x$	คือ	ตำแหน่งตามแนวแกนห้อง
	$n$	คือ	อันดับของปฏิกิริยา
	$<>$	คือ	ค่าเฉลี่ย

จากสมการที่ 5.35 จัดรูปและแปลงสมการได้ใหม่ในรูป

$$\frac{-q}{A_c} \left[ \frac{\partial y_A(x,t)}{\partial x} \right] - r_{-A}(x, t) = \frac{\partial y_A(x,t)}{\partial t} \quad (5.36)$$

ที่สภาวะคงตัว ณ ตำแหน่งเริ่มต้น ( $t = 0$ ) สมการที่ (5.36) จึงลดรูปเป็น

$$\frac{-q}{A_c} \left[ \frac{\partial y_A(x,0)}{\partial x} \right] - r_{-A}(x, 0) = 0 \quad (5.37)$$

กรณีที่ 1,  $n = 0$  นำสมการที่ (5.34) ลงแทนค่าในสมการที่ (5.37)

$$\text{จะคำนวณหาค่า } y_A(x, 0) = y_A(0,0) - \frac{kA_c}{q} \cdot x \quad (5.38)$$

กรณีที่ 2,  $n = 1$  ในทำนองเดียวกันเมื่อแทนค่าสมการที่ (5.34) ลงในสมการที่ (5.37)

$$y_A(x, 0) = y_A(0, 0) e^{\frac{-kA_c}{q} \cdot x} \quad (5.39)$$

กรณีที่ 3,  $n \geq 2$  เช่นเดียวกันกับกรณีที่ 1 และกรณีที่ 2 เมื่อแทนค่าสมการที่ (5.34) ลงในสมการที่ (5.37)

จะคำนวณหาค่า  $y_A(x, 0) = \left[ \frac{(n-1)kA_c}{q} \cdot x + y_A^{1-n}(0, 0) \right]^{\frac{1}{1-n}}$  (5.40)

หรือ  $y_A(x, 0) = [\beta x + \alpha]^{\frac{1}{1-n}}$  (5.41a)

โดยที่  $\beta = \frac{(n-1)kA_c}{q}$  (5.41b)

และ  $\alpha = y_A^{1-n}(0, 0)$  (5.41c)

ถ้านำสมการที่ (5.36) ตื้งและลบออกด้วยสมการ (5.37) พร้อมทั้งกำหนดค่าให้

$$\bar{y}_A(x, t) = y_A(x, t) - y_A(x, 0) \quad (5.42a)$$

และ  $\bar{r}_{-A}(x, t) = r_{-A}(x, t) - r_{-A}(x, 0)$  (5.42b)

จะได้สมการในรูปใหม่ดังนี้

$$\frac{-q}{A_c} \left[ \frac{\partial \bar{y}_A(x, t)}{\partial x} \right] - \bar{r}_{-A}(x, t) = \frac{\partial \bar{y}_A(x, t)}{\partial t} \quad (5.43)$$

ในการแก้สมการ (5.43) จะอาทัยวิธีการของ Laplace Transform ซึ่งจะต้องแยกการคำนวณออกเป็น 3 กรณีด้วยกัน ทั้งนี้ เพราะอันดับของปฏิกริยาซึ่งได้แยกແງรายการละเอียดไว้มีด้วยกัน 3 กรณี ดังนี้

กรณีที่ 1  $n = 0$  จากสมการที่ (5.34) แทนค่าลงในสมการที่ (5.43) และเขียนใหม่ได้เป็น

$$\frac{-q}{A_c} \left[ \frac{\partial \bar{y}_A(x, t)}{\partial x} \right] - k = \frac{\partial \bar{y}_A(x, t)}{\partial t} \quad (5.44)$$

ดังนั้นเมื่อแก้สมการที่ (5.44) ด้วยวิธีการของ Laplace Transform และนำสมการ (5.38) แทนค่าลงไปจะได้

$$\bar{y}_A(L, t) = \bar{y}_A(0, t - \tau_0) - kt \cdot u(t) - k(t - \tau_0) \cdot u(t - \tau_0) \quad (5.45)$$

โดยที่  $\tau_0 = \frac{A_c L}{q}$  นอกจากนี้ ทั้ง  $u(t)$  และ  $u(t - \tau_0)$  ต่างก็เป็น unit function ซึ่งมีค่าเท่ากับ 1 เมื่อ  $t = 0$  และ  $t = \tau_0$  ตามลำดับ

กรณีที่ 2  $n = 1$  จากสมการที่ (5.34) แทนค่าลงในสมการที่ (5.43) และเขียนใหม่ได้เป็น

$$\frac{-q}{A_c} \left[ \frac{\partial \bar{y}_A(x, t)}{\partial x} \right] - k \bar{y}_A(x, t) = \frac{\partial \bar{y}_A(x, t)}{\partial t} \quad (5.46)$$

และเมื่อแก้สมการที่ (5.46) ด้วยวิธีการของ Laplace Transform และนำสมการ (5.39) แทนค่าลงไป จะได้

$$\bar{y}_A(x, t) = e^{-\tau_0 k} \cdot \bar{y}_A(0, t - \tau_0) \quad (5.47)$$

กรณีที่ 3  $n \geq 2$  ในทำนองเดียวกันเมื่อนำสมการที่ (5.34) แทนค่าลงในสมการที่ (5.43) พจน์กลางคือ

$$\bar{r}_A(x, t) = ky_A^n(x, t) - ky_A^n(x, 0) \quad (5.48)$$

มีค่าเป็นพจน์ที่ไม่เชิงเส้น (non linear term) ดังนั้นก่อนการแก้สมการด้วยวิธีการของ Laplace Transform จึงต้องแปลงพจน์ที่ไม่เชิงเส้นนี้ด้วยวิธีการทำให้เป็นเชิงเส้น (linearization) โดยอาศัยการกระจายอนุกรม Taylor

$$f(x) = f(a_0) + \frac{df}{dx} \Big|_{a=0}(x - a_0) + \frac{d^2f}{dx^2} \Big|_{a_0} \frac{(x-a_0)^2}{2!} + \dots \quad (5.49a)$$

ดังนั้น

$$r_A(y_A \Big|_{(x,t)}) = r(y_A \Big|_{x=0}) + \frac{dr}{dy_A} \Big|_{y_A(x,0)} [y_A \Big|_{x,t} - y_A \Big|_{x,0}] \quad (5.49b)$$

ซึ่งค่าที่ได้จะเป็นค่าประมาณการคือ

$$\bar{r}_A(x, t) = ky_A^{n-1}(x, 0) \cdot \bar{y}_A(x, t) \quad (5.50a)$$

เมื่อนำสมการ (5.14a) ลงแทนค่าในสมการ (5.49) จะได้

$$\bar{r}_A(x,t) = \left( \frac{kn}{\beta x + \alpha} \right) \bar{y}_A(x,t) \quad (5.50b)$$

เมื่อนำสมการ (5.50b) ลงแทนค่าในสมการ (5.43) จะได้

$$\frac{-q}{A_c} \left[ \frac{\partial \bar{y}_A(x,t)}{\partial x} \right] - \left( \frac{kn}{\beta x + \alpha} \right) \bar{y}_A(x,t) = \frac{\partial \bar{y}_A(x,t)}{\partial t} \quad (5.51)$$

การแก้สมการ (5.51) จะอาศัยวิธีการของ Laplace Transform จะได้

$$\bar{y}_A(L,t) = e^{-\Omega t} \cdot \bar{y}_A(0,t - \tau_0) \quad (5.52)$$

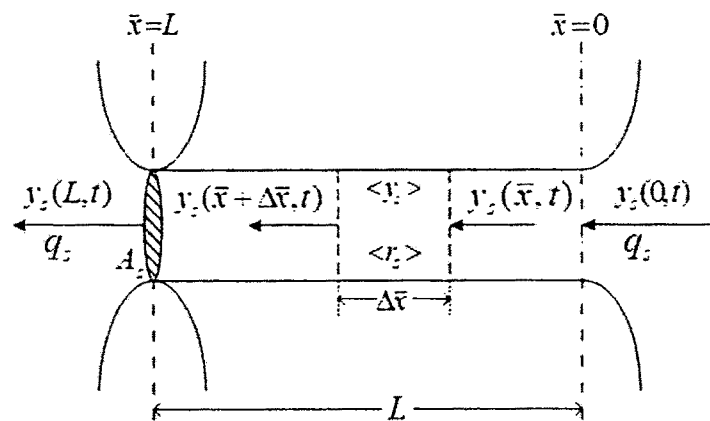
$$\text{โดยที่ } \tau_0 = \frac{A_c L}{q}$$

$$\text{และ } \Omega = \frac{A_c}{q} \cdot \frac{kn}{\beta} \cdot \ln \left[ \frac{\beta L + \alpha}{\alpha} \right]$$

ทั้งนี้ค่า  $\beta$  และ  $\alpha$  ได้หาไว้แล้วในสมการที่ (5.41b) และ (5.41c) ตามลำดับ

### 5.2.2 แบบจำลองการนำกลับ

ในการสร้างแบบจำลองการนำกลับจำเป็นต้องเข้าใจระบบการทำงานของเยื่อแผ่นเหลวที่พยุงด้วยเส้นใยกลวงอย่างชัดแจ้ง เพราะในหนังสือเล่มนี้จะอธิบายถึงระบบการไหลระหว่างสารละลายน้ำและสารละลายน้ำกลับที่สวนทิศทางกัน ซึ่งค่อนข้างจะซับซ้อน ด้วยเหตุที่สารละลายน้ำกลับจะไหหล่อนชั้นเปลือกของท่อไยกลวง ดังนั้นปฏิกริยาการนำกลับจึงจะเกิดจากชั้นเปลือกของท่อขณะที่สารประกอบเชิงช้อนของไอกอนโลหะในวัสดุภาคเยื่อแผ่นเหลวสัมผัสกับสารละลายน้ำกลับ



รูปที่ 5.7 ช่องว่างระหว่างชั้นเปลือกที่มีพื้นที่หน้าตัด “ $A_s$ ” พร้อมรายละเอียดเพื่อใช้สร้างแบบจำลองทางคณิตศาสตร์ในส่วนของการนำกลับ

### กำหนดให้

$y_s$	คือ	เข้มข้นของสารละลายในห้องไยกาวง
$\bar{x}$	คือ	ระยะทางบนแนวแกนและมีความสัมพันธ์กับ $X$ (ในส่วนของการสกัด) โดยมีค่าเท่ากับ $L-X$

จากรูปที่ 5.7 สามารถจินตนาการได้ว่าช่องว่างระหว่างชั้นเปลือกของห้องมีขนาดเล็กมาก ดังนั้นในการสร้างสมมุติฐานจะกำหนดให้ชั้นฟิล์มที่เปลือกของห้องมีขนาดบางมากๆ จนไม่ต้องคำนวณ คำนวณการกำหนดทิศทางการไหลไปตามแนวแกนของห้องโดยใช้สัญลักษณ์ ( $\bar{x}$ )

การตั้งสมมุติฐานเพื่อใช้ในการสร้างแบบจำลองทางคณิตศาสตร์สำหรับการนำกลับก็คล้ายคลึงกับสมมุติฐานของการสกัดก่อตัวคือ

- 1) กำหนดให้ระยะห่างระหว่างชั้นเปลือกจากห้องน้ำไปยังห้องไยกาวงมีค่าน้อยมาก
- 2) กำหนดให้ความเข้มข้นของสารละลายในชั้นเปลือกตามแนวรัศมีของห้องไยกาวงมีค่าคงที่
- 3) กำหนดให้ปฏิกิริยาการนำกลับไปทั้งข้างหน้าและข้างหลัง แต่ผลรวมของปฏิกิริยาเป็นปฏิกิริยาไปข้างหน้า
- 4) กำหนดให้สารประกอบเชิงซ้อนของโลหะในวัสดุภาคเยื่อแผ่นเหลวไม่สามารถไหลซึมออกมากกระแทกของสารละลายนำกลับได้ แต่ไอกอนโลหะที่อยู่ในรูปสารประกอบเชิงซ้อนจะหลุดออกมากได้ด้วยการทำปฏิกิริยาเท่านั้น

- 5) เนื่องจากช่องว่างระหว่างชั้นเปลี่ยนกันมาก จึงกำหนดให้ปฏิกิริยาที่เกิดขึ้นในทิศทางตามแนวแกนเท่านั้น และพร้อมกันนั้น มวลฟลักซ์ของไอออนโลหะเกิดขึ้นในทิศทางตามแนวแกนด้วย

ในการสร้างสมการใช้หลักการเดียวกันกับแบบจำลองการสกัด กล่าวคือ สามารถเขียนสมการได้ในรูป

$$\frac{-q}{A_c} \left[ \frac{\partial y_s(\bar{x}, t)}{\partial \bar{x}} \right] - r_{-A}(\bar{x}, t) = \frac{\partial y_s(\bar{x}, t)}{\partial t} \quad (5.53)$$

ทั้งนี้สามารถกำหนดค่าความสัมพันธ์จากการแปลงสมการ (5.36) ด้วย

$$\bar{x} = L - x \quad (5.54)$$

อัตราของการทำปฏิกิริยาสามารถเขียนได้เป็น

$$r_{-s}(\bar{x}, t) = k_s y_s^m(\bar{x}, t) \quad (5.55)$$

ในการหาความเข้มข้นของสารละลายนำกลับมา เวลาเริ่มต้น ( $t = 0$ ) และณ เวลาใดๆ ( $t = t$ ) ในแต่ละตำแหน่งของชั้นเปลี่ยน ยังคงต้องแบ่งเป็น 3 กรณีด้วยกันคือ

กรณีที่ 1  $m = 0$  จะได้

$$y_s(\bar{x}, 0) = y_s(0, 0) - \frac{k_s A_s}{q_s} \cdot \bar{x} \quad (5.56)$$

$$\text{และ } \bar{y}_s(L, t) = \bar{y}_s(0, t - \bar{\tau}_0) - k_s t \cdot u(t) - k_s(t - \bar{\tau}_0) \cdot u(t - \bar{\tau}_0) \quad (5.57)$$

กรณีที่ 2  $m = 1$  จะได้

$$y_s(\bar{x}, 0) = y_s(0, 0) \cdot e^{\frac{-k_s A_s \cdot \bar{x}}{q_s}} \quad (5.58)$$

$$\bar{y}_s(\bar{x}, t) = e^{-\tau_0 k_s} \cdot \bar{y}_s(0, t - \bar{\tau}_0) \quad (5.59)$$

กรณีที่ 3,  $m \geq 2$

จะคำนวณหาค่า  $y_s(\bar{x}, 0) = \left[ \frac{(m-1)k_s A_s}{q_s} \cdot \bar{x} + y_s^{1-m}(0, 0) \right]^{\frac{1}{1-m}}$  (5.60)

$$\bar{y}_s(L, t) = e^{-\Omega} \cdot \bar{y}_s(0, t - \bar{\tau}_0) \quad (5.61)$$

ทั้งนี้  $\bar{\tau}_0 = \frac{A_s L}{q_s}$  (5.62a)

$$\bar{\Omega} = \frac{A_s}{q_s} \cdot \frac{k_s m}{\bar{\beta}} \cdot \ln \left[ \frac{\bar{\beta} L + \bar{\alpha}}{\bar{\alpha}} \right] \quad (5.62b)$$

โดยที่

$$\bar{\beta} = \frac{(m-1)k_s A_s}{q_s} \quad (5.62c)$$

และ  $\bar{\alpha} = y_s^{1-m}(0, 0)$  (5.62d)

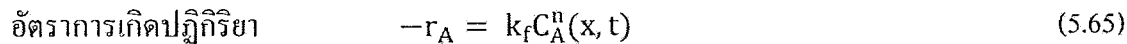
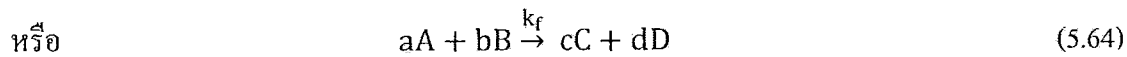
ตัวอย่างกรณีศึกษาที่ 5.2: เรื่องการสกัดไออกอนทองแดงด้วยสารสกัด LIX 84I ในระบบเขียว-แผ่นเหลวพยุงด้วยเส้นไอกลวงโดยนำผลที่ได้เปรียบเทียบกับแบบจำลองทางคณิตศาสตร์

โจทย์ ในอุตสาหกรรมการพิมพ์ลายผ้าด้วยลูกกลิ้งซึ่งเป็นแท่งทองแดงและเคลือบผิวด้วยนิกเกิล ในระบบของการทำความสะอาดและการเชาร์จเพื่อให้เกิดลายด้วยกรด จึงมีไออกอนของทองแดงติดอุกมาด้วยกันน้ำทึ้ง ดังนั้นระบบเขียว-แผ่นเหลวพยุงด้วยเส้นไอกลวงที่เหมาะสมสมต่อการสกัดไออกอนทองแดงที่มีความเข้มข้นต่ำจึงได้นำมาใช้งานโดยอาศัย LIX 84I เป็นสารสกัด และ

น้ำมันก๊าดเป็นตัวทำละลายสารสกัด สำหรับสารละลายน้ำกลันใช้เป็นกรดซัลฟูริก จากนั้นทำการทดลองเพื่อหาค่าของปัจจัยต่างๆที่มีผลต่อการสกัดไฮอนทองแดง ได้แก่ ความเข้มข้นของไฮอนทองแดงในสารละลายน้ำ และอัตราการไหลของสารละลายน้ำ พร้อมทั้งประยุกต์แบบจำลองทางคณิตศาสตร์ทำการเปรียบเทียบผลของการทำงานของระบบเยื่อแผ่นเหลวที่เกิดขึ้นจริง

### วิธีทำ ขั้นตอนที่ 1: การอาณตันดับปฏิกิริยาและค่าคงที่ของอัตราการเกิดปฏิกิริยา

สำหรับอันดับปฏิกิริยาหากการนำเอาความเข้มข้นของไฮอนทองแดงที่วัดได้จากการทดลองผ่านระบบเยื่อแผ่นเหลวที่พยุงด้วยเส้นไอกลวงนาโนเมตรเพื่อหา อัตราการเกิดปฏิกิริยา และอันดับของปฏิกิริยา ซึ่งในที่นี้จะพิจารณาอันดับปฏิกิริยาซึ่งเท่ากับ 1 และ 2 เท่านั้นเนื่องจาก มีกลุ่มนักวิจัยซึ่งนำโดย Pancharoen เคยเสนอแนะไว้ จากนั้นจะเปรียบเทียบผลที่ได้จากอันดับทั้ง 2 ตั้งที่ได้กันว่าม้าเลี้ยวโดยน้ำค่าที่ได้จากอันดับที่ดีที่สุด (คูจากค่า R-squared) นำไปใช้ในการคำนวณหาผลส่วนอื่นๆ ต่อไป ในการพิจารณาอันดับปฏิกิริยาของสารสกัดไฮอนทองแดง แสดงได้ดังด้านล่างนี้



กรณี อันดับของปฏิกิริยาเท่ากับ 1:

$$\frac{dC_A(x,t)}{dt} = -k_f C_A(x, t) \quad (5.66)$$

และหากอันดับของปฏิกิริยาเท่ากับ 2:

$$\frac{dC_A(x,t)}{dt} = -k_f C_A^2(x, t) \quad (5.67)$$

เมื่อแก้สมการที่ (5.66) และ (5.67) จะได้สมการที่ (5.68) และ (5.69) ตามลำดับ

$$\ln \frac{C_{A0}}{C_A} = k_f t \quad (5.68)$$

$$\frac{1}{C_A} = \frac{1}{C_{A0}} + kt \quad (5.69)$$

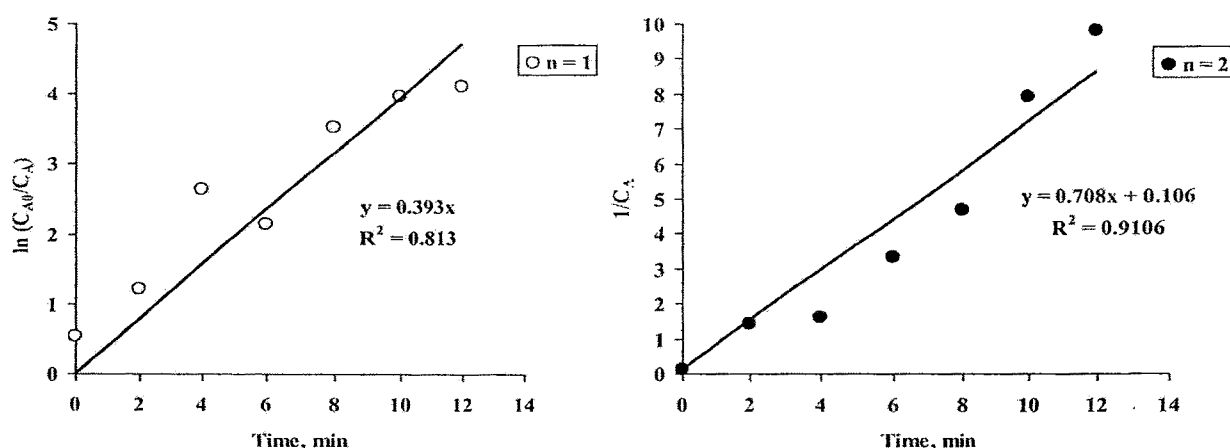
สำหรับอันดับปฏิกิริยาเท่ากับ 1 เมื่อนำเอาทอน  $\ln C_{A0}/C_A$  จากสมการที่ (5.68) มาพล็อตกราฟเทียบกับ  $t$  ส่วนอันดับปฏิกิริยาเท่ากับ 2 ให้นำเอา  $1/C_A$  จากสมการที่ (5.69) มาพล็อตกราฟเทียบกับ  $t$  โดยอาศัยข้อมูลนี้ได้จากการทำงานผ่านระบบเชื่อมผ่านแหล่งที่พยุงด้วยสันใจกลุ่มนาฬิกาชุดเดียวกัน ดังแสดงไว้ในตารางที่ 5.9

ตารางที่ 5.9 ค่าความเข้มข้นของไออ่อนทองแดงที่รัศมีจากการทดลอง และค่าความเข้มข้นที่อินพิเกรตแล้วของอันดับปฏิกิริยาเท่ากับ 1 และ 2

เวลา	$C_A$ (มิลลิกรัมตอลิตร)	อันดับปฏิกิริยาเท่ากับ 1	อันดับปฏิกิริยาเท่ากับ 2
		$\ln \frac{C_{A0}}{C_A}$	$\frac{1}{C_A}$
0	9.433	0	0.106
2	0.753	1.214	1.459
4	0.600	2.755	1.667
6	0.316	2.131	3.165
8	0.220	3.758	4.546
10	0.126	4.116	7.961
12	0.102	4.327	9.804

สมการที่ศึกษา: ความเข้มข้นของสารสกัดเท่ากับ 5 เปอร์เซ็นต์โดยปริมาตร; ความเข้มข้นของสารละลายนำกลับเท่ากับ 1 มิลลิตร; และอัตราการไหลของสารละลายป้อนเท่ากับ 100 มิลลิลิตรต่อนาที

จากข้อมูลในตารางที่ 1 นำมาพล็อตกราฟของอันดับปฏิกิริยาทั้งสองได้ดังรูปที่ 5.8



รูปที่ 5.8 ความเข้มข้นของไออ่อนทองแดงที่อินพิเกรตแล้วเทียบกับเวลาการสกัด

สำหรับค่าคงที่ของอัตราการเกิดปฏิกิริยาสามารถหาได้จากความชันของเส้นกราฟ โดยจากกราฟที่อันดับของปฏิกิริยาเท่ากับ 1 และ 2 มีค่าคงที่ของอัตราการเกิดปฏิกิริยาเท่ากับ 0.393 หนึ่งส่วนนาที และ 0.708 ลิตรต่อนาทีตามลำดับ จากรูปที่ 5.8 สามารถสรุปได้จากค่า R-squared และค่าเปอร์เซ็นต์การเบี่ยงเบนซึ่งคำนวณได้จากสมการที่ (5.70) ของกราฟซึ่งแสดงอันดับปฏิกิริยาทั้งสองไว้ดังตารางที่ 5.10

$$\% \text{ deviation} = \frac{\sum_{i=1}^j \left( \frac{C_{\text{Expt.}} - C_{\text{Theo.}}}{C_{\text{Expt.}}} \right)_t \times 100}{j} \quad (5.70)$$

ตารางที่ 5.10 ค่า R-squared และค่าเปอร์เซ็นต์การเบี่ยงเบนของกราฟอันดับปฏิกิริยาเท่ากับ 1 และ 2

อันดับปฏิกิริยา	ค่าคงที่ของอัตราการเกิดปฏิกิริยา	R-squared	เปอร์เซ็นต์การเบี่ยงเบน
1	0.393 หนึ่งส่วนนาที	0.813	61.233
2	0.708 ลิตรต่อนาที	0.911	1.453

จากการพิจารณาหาอันดับปฏิกิริยาและค่าคงที่ของอัตราการเกิดปฏิกิริยาสำหรับการสกัดไออกอนทองแดงที่ศึกษาในงานวิจัยนี้ พบร่วมอันดับปฏิกิริยาเท่ากับ 2 และค่าคงที่ของอัตราการเกิดปฏิกิริยาเท่ากับ 0.708 ลิตรต่อนาที ซึ่งค่าทั้งสองนี้จะถูกนำมาใช้เป็นค่าคงที่ในแบบจำลองทางคณิตศาสตร์

ขั้นตอนที่ 2: แบบจำลองทางคณิตศาสตร์ที่ถูกนำมาประยุกต์ใช้ในแก๊ซญห้าโจทย์ข้อนี้เป็นก่อรูปสมการในกรณีที่ 3 ( $n \geq 2$ ) แบบจำลองทางคณิตศาสตร์ที่สภาวะเวลาใดๆ สมการ (5.40) นำมาประยุกต์และเขียนใหม่ได้เป็น

ที่สภาวะเวลาเริ่มต้น ( $t = 0$ ):

$$C_{A(L,0)} = \left[ C_{A(0,0)}^{1-n} + \frac{(1-n)k_f A_c}{Q} L \right]^{\frac{1}{1-n}} \quad (5.71)$$

และที่สภาวะเวลาใดๆ สมการที่ (5.55) เมื่อนำมาประยุกต์กับสามารถเขียนใหม่ได้เป็น:

$$\bar{C}_{A(L,t)} = e^{\beta} \bar{C}_{A(0,t-t_0)} \quad (5.72)$$

โดยที่  $C_A(L,t) = C_A(L,t) - C_A(L,0)$

$$\text{ขณะที่} \quad \beta = \left( \frac{A_c k_f n}{Q_Y} \right) \ln \left( \frac{\gamma L + \lambda}{\lambda} \right)$$

$$\text{และ} \quad \gamma = \frac{(1-n)k_f A_c}{Q}$$

$$\text{ทั้งนี้} \quad \lambda = C_{A(0,0)}^{1-n}$$

$$\text{โดยกำหนดให้} \quad \tau_0 = \frac{A_c L}{Q}$$

จากแบบจำลองทางคณิตศาสตร์นี้ค่าความเข้มข้นของไอออนทองแดงตรงทางออกของระบบเยื่อแผ่นเหลวที่พยุงด้วยเส้นไขกลวงสามารถคำนวณได้ และเมื่อคำนวณหาค่าปอร์เซ็นต์การสกัดจากสมการ (5.73)

$$\% \text{ extraction} = \frac{C_{f,in} - C_{f,out}}{C_{f,in}} \times 100 \quad (5.73)$$

ทั้งนี้ค่าคงที่ต่างๆ ที่คำนวณได้แสดงไว้ในตารางที่ 5.11

ตารางที่ 5.11 ค่าคงที่ต่างๆ สำหรับใช้ในแบบจำลองทางคณิตศาสตร์

ค่าคงที่	ค่า
อันดับปฏิกิริยา ( $n$ )	2
ความยาวของเส้นไขกลวง ( $L$ , เดซิเมตร)	1.5
$\lambda$ (ลิตรต่อมิลลิกรัม)	0.1
ค่าคงที่ของอัตราการเกิดปฏิกิริยา ( $k_p$ , ลิตรต่อมิลลิกรัมต่อนาที)	0.708
พื้นที่หน้าตัดภายในของเส้นไขกลวง ( $A_c$ , ตารางเดซิเมตร)	$4.5 \times 10^{-6}$
$\beta$	$1.246 \times 10^{-2}$
$\tau_0$ (นาที)	$8.755 \times 10^{-4}$
$\gamma$ (ตารางเดซิเมตรต่อมิลลิกรัม)	$-3.186 \times 10^{-5}$

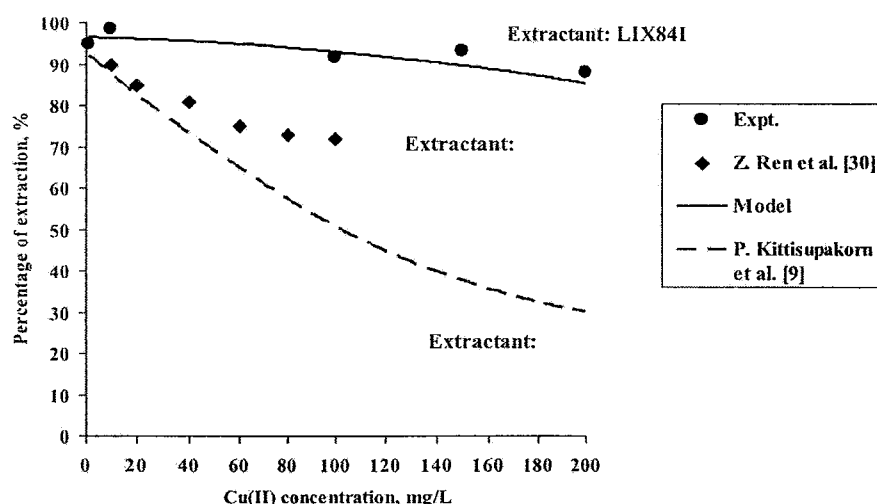
ส่วนผลของการคำนวณค่าความเข้มข้นของไอออนทองแดงจากการประยุกต์แบบจำลองทางคณิตศาสตร์สรุปผลรวมไว้ในตารางที่ 5.12

ตารางที่ 5.12 ความเข้มข้นที่ทางออกและเปอร์เซ็นต์การสกัดของไอออนทองแดงที่คำนวณได้จากแบบจำลองทางคณิตศาสตร์และจากผลการทดลอง ในกรณีปรับค่าความเข้มข้นเริ่มต้นของไอออนทองแดง

ความเข้มข้น เริ่มต้น (mg/L)	ประมาณจากแบบจำลองทางคณิตศาสตร์				คำนวณจากผลการทดลอง	
	$\bar{C}_{A(0,t-t_0)}$	$e^\beta$	$\bar{C}_{A(L,t)}$	% การสกัด	$C_{A(L,0)}$	% การสกัด
1	0.055	1.013	0.056	94.44	0.053	94.66
10	0.156	1.013	0.158	98.42	0.156	98.44
100	5.568	1.013	5.640	94.36	8.330	91.67
150	18.820	1.013	19.065	87.29	10.350	93.1
200	27.088	1.013	27.44	86.28	23.820	88.09

สภาวะที่ศึกษา: ความเข้มข้นของสารสกัดเท่ากับ 3 เปอร์เซ็นต์โดยปริมาตร; ความเข้มข้นของสารละลายนำกลับเท่ากับ 0.1 โมลาร์; และอัตราการไหลของสารละลายป้อนเท่ากับ 100 มิลลิลิตรต่อนาที

ข้อตอนที่ 3: ในกรณีที่อัตราการไหลคงที่แต่ความเข้มข้นเริ่มต้นของสารละลายป้อนแปรไป ผลที่ได้มาได้จากตารางที่ 5.13 นำมาพล็อตกราฟเพื่อเปรียบเทียบให้เห็นความซัดของการทดลองจริงกับการใช้แบบจำลองทางคณิตศาสตร์รวมทั้งเปรียบเทียบกับผลงานวิจัยของนักวิจัยอื่นด้วย



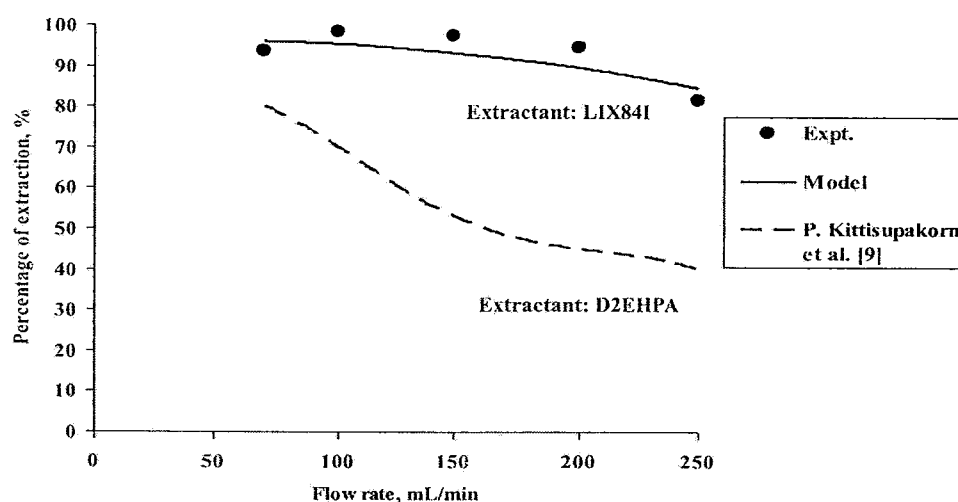
รูปที่ 5.9 ผลการสกัดไอออนทองแดงที่คำนวณได้จากแบบจำลองทางคณิตศาสตร์และคำนวณได้จากผลการทดลองในกรณีแปรค่าความเข้มข้นเริ่มต้นของไอออนทองแดง รวมทั้งการเปรียบเทียบผลกับงานของคนอื่นๆ

**ขั้นตอนที่ 4:** หากกำหนดให้ความเข้มข้นเริ่มต้นของสารละลายปื้อนคงที่ แต่เปลี่ยนค่าอัตราการไหล การคำนวณก็จะเปลี่ยนไปด้วย ซึ่งสรุปผลการคำนวณไว้ในตารางที่ 5.13

**ตารางที่ 5.13 ความเข้มข้นกิ่งทางออกและเปอร์เซ็นต์การสกัดของไออ่อนทองแดงที่ประมาณได้จากแบบจำลองทางคณิตศาสตร์และคำนวณได้จากผลการทดลอง ในกรณีปรับค่าอัตราการไหลของสารละลายปื้อน**

อัตราการไหล (mL/min)	ประมาณจากแบบจำลองทางคณิตศาสตร์				คำนวณจากผลการทดลอง	
	$\bar{C}_{A(0,t-\tau_0)}$	$e^\beta$	$\bar{C}_{A(L,t)}$	% การสกัด	$C_{A(L,0)}$	% การสกัด
70	0.556	1.013	0.563	94.37	0.629	93.71
100	0.156	1.013	0.158	98.42	0.156	98.44
150	0.805	1.013	0.815	91.85	0.263	97.37
200	1.082	1.013	1.096	89.04	0.546	94.54
250	1.477	1.013	1.496	85.04	1.843	81.57

**สภาวะที่ศึกษา:** ความเข้มข้นของสารละลายปื้อนเท่ากับ 10 มิลลิกรัมต่อลิตร; ความเข้มข้นของสารสกัดเท่ากับ 3 เปอร์เซ็นต์โดยปริมาตร; และความเข้มข้นของสารละลายน้ำกลั้บเท่ากับ 0.1 โนมาร์



**รูปที่ 5.10** ผลการสกัดไออ่อนทองแดงที่คำนวณได้จากแบบจำลองทางคณิตศาสตร์และคำนวณได้จากผลการทดลอง ในกรณีปรับค่าอัตราการไหลของสารละลายปื้อน รวมทั้งการเปรียบเทียบผลกับงานของคนอื่นๆ

เมื่อนำผลที่ได้จากการที่ 5.13 นำมาพล็อตกราฟเพื่อเปรียบเทียบให้เห็นความซัดของกราฟทดลองจริงกับการใช้แบบจำลองทางคณิตศาสตร์รวมทั้งเปรียบเทียบกับผลงานวิจัยของนักวิจัยอื่นด้วย ซึ่งแสดงไว้ในรูปที่ (5.10)

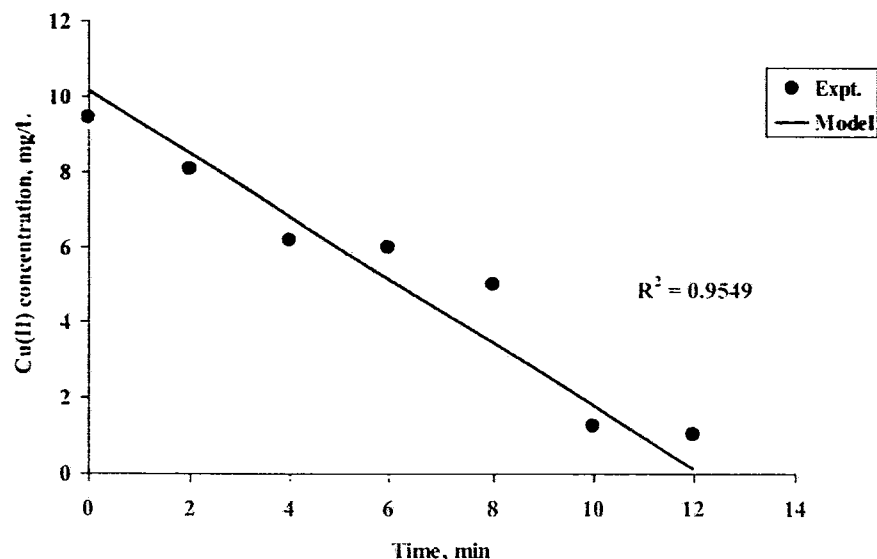
**ข้อตอนที่ 5:** หากกำหนดให้ความเข้มข้นเริ่มต้นของสารละลายป้อนคงที่ และอัตราการไหลคงที่ แต่จะเปลี่วลาหรือจำนวนรอบของการสกัดการคำนวณก็เปลี่ยนไปด้วย ซึ่งสรุปผลการคำนวณไว้ในตารางที่ 5.14

**ตารางที่ 5.14 ความเข้มข้นที่ทางออกของไอออนทองแดงที่ประมาณได้จากแบบจำลองทางคณิตศาสตร์และคำนวณได้จากการทดลอง**

เวลา (นาที)	ประมาณจากแบบจำลองทางคณิตศาสตร์					คำนวณจากการทดลอง $C_A(L,t)$
	$C_A(0,0)$	$C_A(L,0)$	$\bar{C}_A(0,t-t_0)$	$e^{\beta t}$	$\bar{C}_A(L,t)$	
0	10.000	9.867	-	-	-	9.433
2	-	-	9.099	1.013	9.217	8.104
4	-	-	6.229	1.013	6.310	6.207
6	-	-	5.735	1.013	5.810	6.058
8	-	-	3.962	1.013	4.013	5.734
10	-	-	1.706	1.013	1.728	1.651
12	-	-	0.156	1.013	0.158	0.156

**สภาวะที่ศึกษา:** ความเข้มข้นของสารละลายป้อนเท่ากับ 10 มิลลิกรัมต่อลิตร; ความเข้มข้นของสารสกัดเท่ากับ 3 เมอร์เซ็นต์โดยปรินาตร; ความเข้มข้นของสารละลายน้ำกลับเท่ากับ 0.1 โนมาร์; และอัตราการไหลของสารละลายป้อนเท่ากับ 100 มิลลิตรต่อนาที

เมื่อนำผลที่ได้จากการที่ 5.14 นำมาพล็อตกราฟเพื่อเปรียบเทียบให้เห็นความซัดของกราฟทดลองจริงกับการใช้แบบจำลองทางคณิตศาสตร์ซึ่งแสดงไว้ในรูปที่ (5.11)



รูปที่ 5.11 ความเข้มข้นของไออ่อนทองแดงเทียบกับเวลาการสกัด

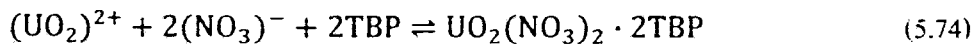
### 5.3 แบบจำลองทางคณิตศาสตร์ในการหาค่าฟลักซ์ในระบบเยื่อแผ่นเหลวที่พยุงด้วยเส้นไยกลาง

ในการอธิบายแบบจำลองนี้หากนำเสนอด้วยรูปแบบของโลหะสมมุติ ผู้อ่านก็อาจมองเห็นภาพโดยรวมที่ไม่ชัดเจนนัก ดังนั้นเพื่อให้ง่ายต่อการทำความเข้าใจ ผู้เขียนจะขอใช้ตัวอย่างของกรณีศึกษาซึ่งมีไออ่อนยูเรเนียมเป็นตัวนำเรื่อง

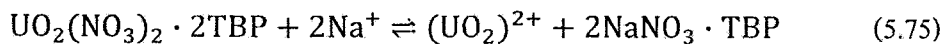
ตัวอย่างกรณีศึกษาที่ 5.3: เรื่องการสกัดแยกไอออนยูเรเนียมและขอเรียนออกจากกันด้วยระบบเยื่อแผ่นเหลวที่พยุงด้วยเส้นไยกลาง โดยเปรียบเทียบผลของการสกัดที่เกิดขึ้นจริงกับแบบจำลองทางคณิตศาสตร์เกี่ยวกับฟลักซ์ของปฏิกิริยาการสกัดไออ่อน

โจทย์ ในการสกัดและนำกลับไอออนของยูเรเนียมออกจากสารละลายในเตրที่มีไออ่อนของยูเรเนียมและขอเริ่มรวมอยู่ด้วยกันด้วยระบบเยื่อแผ่นเหลวที่พยุงด้วยเส้นไยกลาง โดยมีไตรบิวทิลฟอสเฟต (TBP) เป็นสารสกัดและละลายอยู่ในน้ำมันก้าดซึ่งทำหน้าที่เป็นตัวทำละลาย จงสร้างแบบจำลองทางคณิตศาสตร์ในการหาค่าฟลักซ์ของไอออนยูเรเนียม และนำไปสู่การคำนวณหาค่าความเข้มข้นของยูเรเนียมที่แยกออกมาได้ กำหนดให้  $(\text{NH}_4)_2\text{U}_2\text{O}_7$ ,  $\text{Th}(\text{OH})_4$  และ  $\text{HNO}_3$  เป็นสารละลายป้อน และ  $\text{NaOH}$  เป็นสารละลายนำกลับ

วิธีทำ ขั้นตอนที่ 1: การสกัดและนำกลับเกิดขึ้นจากปฏิกิริยา ดังนี้นี่จึงมีสมการ 2 สมการคือขั้นตอนที่เกี่ยวข้อง สมการแรกคือสมการของปฏิกิริยาการสกัด ไอออนยูเรเนียม ซึ่งจะเกิดเป็นสารประกอบเชิงช้อนอยู่ในวัฏภาคเยื่อแผ่นเหลว โดยเขียนได้เป็น



จากสมการที่ (5.74) ทราบได้ว่ายูเรเนียมที่ไม่ได้ทำปฏิกิริยาเพื่อแปลงไปอยู่ในรูปสารประกอบเชิงช้อน จะหล่อออกมาราคาห่อซึ่งก็คือปริมาณของยูเรเนียมที่สกัดออกนั้นเอง กล่าวคือ ไอออนยูเรเนียมในรูป  $(NH_4)_2U_2O_7$  ที่ถูกสกัดออกมาได้และละลายอยู่ในกรดไฮดริกและสมการที่ 2 เกิดจากปฏิกิริยาการนำกลับ ไอออนยูเรเนียมซึ่งอาศัย NaOH ทำปฏิกิริยากับสารประกอบเชิงช้อน  $UO_2(NO_3)_2 \cdot 2TBP$  ซึ่งอยู่ในวัฏภาคเยื่อแผ่นเหลว ผิวสัมผัสเพื่อให้ไอออนยูเรเนียมหลุดออกไปสู่วัฏภาคของสารละลายนำกลับ สมการของปฏิกิริยาเขียนได้ดังนี้



ขั้นตอนที่ 2: จากปฏิกิริยาการสกัด ในสมการ (5.74) สามารถเขียนสมการของสมดุลการสกัด “ $K_{ex}$ ” (extraction equilibrium or equilibrium constant) ได้ดังนี้

$$K_{ex} = \frac{[UO_2(NO_3)_2 \cdot 2TBP]}{[(UO_2)^{2+}][(NO_3)^-]^2[TBP]^2} \quad (5.76)$$

พร้อมกันนั้น ยังสามารถคำนวณหาค่าสัมประสิทธิ์การกระจาย “D” (distribution coefficient or distribution ratio) ได้จาก

$$D = \frac{[UO_2(NO_3)_2 \cdot 2TBP]}{[(UO_2)^{2+}]} = K_{ex}[(NO_3)^-]^2[TBP]^2 \quad (5.77)$$

ขั้นตอนที่ 3: พิจารณาจากสมการ (5.75) หากกำหนดให้  $[U]_{org}$  เป็นความเข้มข้นของไอออนยูเรเนียมในสารประกอบเชิงช้อน (หรือในวัสดุภาคเยื่อแผ่นเหลว)  $[U]$ , เป็นความเข้มข้นของไอออนยูเรเนียมที่ผิวสัมผัสระหว่างวัสดุภาคสารละลายปื้อนกับวัสดุภาคเยื่อแผ่นเหลว

$$\text{ดังนี้} \quad [U]_{org} = [UO_2(NO_3)_2 \cdot 2TBP] \quad (5.78)$$

และจากสมการ (5.77) ในรูปของ  $K_{cx}$  จะได้

$$[U]_{org,i} = K_{ex}[(NO_3)^-]^2[TBP]^2[(UO_2)^{2+}]_{f,i} \quad (5.79)$$

จากสมการของฟลักซ์ เกี่ยนได้ว่า

$$J_m R_m = [U]_i - [U]_s \quad (5.80)$$

และถ้าความเข้มข้นของไอออนยูเรเนียมในสารละลายนำกลับน้ำยามากจนตัดเทอม  $[U]$ , ทิ้ง ได้ สมการ (5.80) จะเหลือเพียง

$$J_m R_m \approx [U]_i \quad (5.80)$$

และในทำนองเดียวกันจะเกี่ยนสมการของฟลักซ์ที่ผิวสัมผัสด้วย

$$J_i R_i = [(UO_2)^{2+}]_f - [(UO_2)^{2+}]_{f,i} \quad (5.81)$$

ขณะที่  $R_m = 1 / k_m$  คือค่าความต้านทานการถ่ายเทมวล(mass transfer resistance)ในวัสดุภาคเยื่อแผ่นเหลวและ  $R_i = 1 / k_i$  คือค่าความต้านทานการถ่ายเทมวล(mass transfer resistance)ที่ผิวสัมผัสด้วยวัสดุภาคสารละลายปื้อน โดยมี  $[(UO_2)^{2+}]_f$  เป็นความเข้มข้นของไอออนยูเรเนียมในวัสดุภาคสารละลายปื้อนแล้ว  $[(UO_2)^{2+}]_{f,i}$  เป็นความเข้มข้นของสารประกอบเชิงช้อนของไอออนยูเรเนียมที่ผิวสัมผัสด้วยวัสดุภาคเยื่อแผ่นเหลววัสดุภาคสารละลายปื้อน

**ขั้นตอนที่ 4:** นำ  $[U]_{org,i}$  จากสมการที่ (5.79) แทนลงในสมการ (5.80) จะได้

$$[(UO_2)^{2+}]_{f,i} = \frac{J_m R_m}{K_{ex}[(NO_3)^-]^2 [TBP]^2} \quad (5.82)$$

จากนั้นนำค่า  $[(UO_2)^{2+}]_{f,i}$  ที่หาได้จากสมการ (5.82) แทนลงในสมการ (5.81) พร้อมกันนี้ ที่สภาวะคงตัว (steady state condition) ค่าฟลักซ์ต้องเท่ากันตลอด ดังนั้น “  $J_m = J_i = J$  ” และออกมาได้ดังสมการ (5.83)

$$J = \frac{\{K_{ex}[(NO_3)^-]^2 [TBP]^2\} \cdot [(UO_2)^{2+}]_f}{\{R_m + R_i K_{ex} [TBP]^2 [(NO_3)^-]^2\}} \quad (5.83)$$

จากนั้นหากจะหาสมการโดยใช้คุณมวลสาร (mass balance) สำหรับกรดในตริก จะเขียนสมการได้ดังนี้

$$[(NO_3)^-]_0 = [(NO_3)^-]_{free} + 2[U]_{org,i} \quad (5.84)$$

โดยที่  $[(NO_3)^-]_0$  เป็นความเข้มข้นเริ่มต้นของกรดในตริกในสารละลายป้อน และหากว่าปริมาณที่ใช้ค่อนข้างต่ำ ดังนั้นจึงมีข้อสมมุติฐานว่า ไอออน  $[NO_3^-]$  ทั้งหมด ทำปฏิกิริยาเคมกับไอออนยูเรเนียม ดังนั้นจึงไม่มีไอออน  $[NO_3^-]$  เหลือ หรืออาจกล่าวได้ว่า  $[(NO_3)^-]_{free}$  มีค่าเป็นศูนย์ สมการ (5.84) จึงลดลงเหลือ

$$[(NO_3)^-]_0 = 2[U]_{org,i} \quad (5.85)$$

จับสมการ (5.79) รวมกับสมการ (5.85) จากนั้นขัดสมการใหม่จะได้

$$[(NO_3)^-]^2 [TBP]^2 = \frac{[(NO_3)^-]_0}{2K_{ex} \cdot [(UO_2)^{2+}]_{f,i}} \quad (5.86)$$

นำสมการ (5.86) แทนลงในสมการ (5.83) จะได้

$$J = \frac{\{[(NO_3)^-]_0 \cdot [(UO_2)^{2+}]_f\}}{\{2R_m [(UO_2)^{2+}]_{f,i} + R_i [(NO_3)^-]_0\}} \quad (5.87)$$

ขั้นตอนที่ 5: เมื่อพิจารณาสมการ (5.87) พบว่าเทอม  $[(UO_2)^{2+}]_f$  เป็นความเข้มข้นของไอออนยูรเนียมที่ผิวสัมผัส ซึ่งวัดไม่ได้ ดังนั้นจึงต้องนำเอาสมการ (5.81) มาแทนลงในสมการ (5.87) เกิดเป็นสมการกำลังสอง (quadratic equation) ดังนี้

$$2J^2 R_m R_i - \{2R_m [(UO_2)^{2+}]_f + R_i [(NO_3)^{-}]_0\} + \{[(NO_3)^{-}]_0 \cdot [(UO_2)^{2+}]_f\} = 0 \quad (5.88)$$

ดังนี้จึงแก้สมการของฟลักซ์โดยอาศัยวิธีการกำลังสองสมบูรณ์ (completing the square) จะได้

$$J = \frac{[2R_m(UO_2)^{2+}]_f + R_i[(NO_3)^{-}]_0 + \sqrt{[2R_m(UO_2)^{2+}]_f + R_i[(NO_3)^{-}]_0}^2 - 8R_m R_i [(NO_3)^{-}]_0 \cdot [(UO_2)^{2+}]_f}{4R_m R_i} \quad (5.89)$$

แต่เนื่องจากเทอมที่อยู่ในเครื่องหมายรากที่สองมีค่าน้อยกว่าเทอมที่อยู่นอกเครื่องหมายรากที่สองมากๆ ดังนั้นจึงสามารถตัดทิ้งได้ และสมการ (5.89) จึงกลายเป็น

$$J = \frac{[(UO_2)^{2+}]_f}{2R_i} + \frac{[(NO_3)^{-}]_0}{4R_m} \quad (5.90)$$

แต่จากคำจำกัดความที่ว่า “ฟลักซ์ มีค่าเท่ากับอัตราการแพร่ของมวลที่หายไปต่อพื้นที่” ซึ่งมีหน่วยเป็น “หน่วยกิโลวัตต์ต่อหน่วยพื้นที่ ต่อหน่วยเวลา” ซึ่งสามารถเขียนสมการได้ว่า

$$J = - \left( \frac{V}{A} \right) \cdot \frac{d[(UO_2)^{2+}]_f}{dt} \quad (5.91)$$

ดังนั้นเมื่อรวมสมการ (5.90) และ สมการ (5.91) เข้าด้วยกัน จะได้สมการอนุพันธ์ใหม่เป็น

$$-\left( \frac{V}{A} \right) \cdot \frac{d[(UO_2)^{2+}]_f}{dt} = \frac{[(UO_2)^{2+}]_f}{2R_i} + \frac{[(NO_3)^{-}]_0}{4R_m} \quad (5.92a)$$

จากสมการ (5.92a) เมื่อจัดเทอมให้อยู่ในรูปที่สามารถอินทิเกรต (integrate) ได้โดยกำหนดข้อแม้ ณ จุดเริ่มต้น ที่ว่า  $t = 0$ ,  $[(UO_2)^{2+}]_f = [(UO_2)^{2+}]_{f,0}$  ดังนั้นสมการสุดท้ายที่ใช้คำนวณหาความเข้มข้นของไอออนยูรเนียมจึงเป็น

$$[(\text{UO}_2)^+]_f = \frac{R_i[(\text{NO}_3)^-]_0}{2R_m} + \frac{[(\text{UO}_2)^{2+}]_{f,0} R_i[(\text{NO}_3)^-]_0}{2R_m} \cdot e^{\frac{-At}{2VR_i}} \quad (5.92b)$$

ตัวอย่างกรณีศึกษาที่ 5.4: การสกัดแยกไออกอนแทนทาลัม (Tantalum) และไออกอนในโนบีียม (Niobium) ออกจากกันผ่านระบบเยื่อแผ่นเหลวที่พยุงด้วยเส้นไอกลวง

โจทย์ จากข้อมูลการสกัดที่เขียนไว้ในกรณีศึกษาที่ 4.2 จงคำนวณหา

- ก) สัมประสิทธิ์การซึมผ่าน (permeability coefficient, P) ของไออกอนแทนทาลัม
- ข) สัมประสิทธิ์การถ่ายเทนวัล (mass transfer coefficient) ในวัสดุภาคสารละลายปื้อน ( $k_t$ ) และในวัสดุภาคเยื่อแผ่นเหลว ( $k_m$ ) ของไออกอนแทนทาลัม

วิธีทำ ก) การคำนวณหาค่าสัมประสิทธิ์การซึมผ่าน (permeability coefficient) ของไออกอนแทนทาลัมจากสมการที่ (3.13) และ (3.14)

$$-V_f \ln \left( \frac{C_f}{C_{f0}} \right) = AP \frac{\beta}{\beta+1} t \quad (3.13)$$

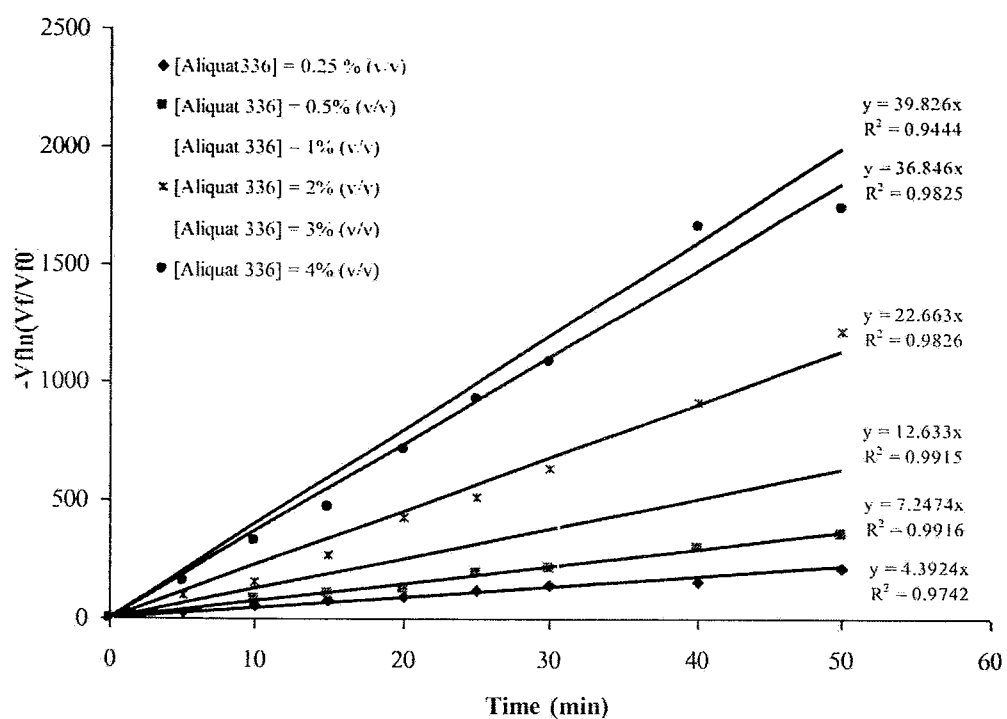
$$\text{เมื่อ } \beta = \frac{Q_f}{PL\pi N r_i} \quad (3.14)$$

โดยที่

P	คือ	ค่าสัมประสิทธิ์การซึมผ่าน (เซนติเมตรต่อวินาที)
$C_{f0}$	คือ	ความเข้มข้นของไออกอนเพรซีโนดิเมียมที่เวลาเริ่มต้น (โมลต่อลิตร)
$C_f$	คือ	ความเข้มข้นของไออกอนเพรซีโนดิเมียมที่เวลา $t$ (โมลต่อลิตร)
A	คือ	พื้นที่การถ่ายเทนวัล (ตารางเซนติเมตร)
$V_f$	คือ	ปริมาตรของสารละลายปื้อน (ลูกบาศก์เซนติเมตร)
$Q_f$	คือ	อัตราการไหลของสารละลายปื้อน (ลูกบาศก์เซนติเมตรต่อวินาที)
L	คือ	ความยาวของเส้นไอกลวง (เซนติเมตร)

N	=	จำนวนเส้นไขกลวงในมอคูล (เส้น)
r <sub>i</sub>	=	รัศมีภายในของเส้นไขกลวง (เซนติเมตร)
$\varepsilon$	=	ความพรุนของเส้นไขกลวง
$\pi$	=	3.1416

จากข้อมูลในตารางที่ 4.5 นำมาพื้นอัตราการหักเหทั่วไป  $-V_f \ln \frac{C_f}{C_{f,0}}$  บนแกน y จะได้  $AP \frac{\beta}{\beta+1}$  จะเป็นค่าความชัน (slope) ซึ่งแสดงไว้ในรูปที่ 5.12 จากค่าความชันที่หามาและเมื่อแทนค่าคงที่ ซึ่งคำนวณได้จากสมการ (3.14) แล้ว การคำนวณหาค่าสัมประสิทธิ์การซึมผ่าน (P) ได้ผลสรุปรวมไว้ในตารางที่ 5.15



รูปที่ 5.12 การพล็อตกราฟระหว่าง  $-V_f \ln \frac{C_f}{C_{f,0}}$  กับ t

ตารางที่ 5.15 สรุปผลการคำนวณหาค่าสัมประสิทธิ์การซึมผ่าน (P) ที่ความเข้มข้นของ Aliquat 336 ระหว่างช่วง 0.25-4% (v/v)

Aliquat 336 (%(v/v))	$P \times 10^3 (\text{cm}^2/\text{s})$
0.25	1.082
0.5	1.800
1	3.374
2	6.540
3	13.681
4	12.082

ข) การคำนวณหาค่าสัมประสิทธิ์การถ่ายเทนวัล (mass transfer coefficient) ในวัสดุภาชนะละลาย ( $k_i$ ) และในวัสดุภาชนะเยื่อแผ่นเหลว ( $k_m$ )

จากค่าคงที่ต่างๆที่รู้จักกันแพร่หลาย คือ

$$\text{Graetz number } Gz = \frac{d_i^2 v}{LD_{aq}} \quad (5.93)$$

$$\text{Sherwood number } Sh = mGz^n \quad (5.94)$$

$$\text{หรืออยู่ในรูป } Sh = \frac{k_i d_i}{D_{aq}} \quad (5.95)$$

โดยที่

$d_i$	คือ เส้นผ่านศูนย์กลางภายในของเส้นไอกลวง เท่ากับ $2.4 \times 10^{-2}$ เมตร
$v$	ความเร็วภายในเส้นไอกลวง เท่ากับ 15.381 เมตรต่อวินาที
$L$	ความยาวของเส้นไอกลวง เท่ากับ 20.3 เมตร
$m$	คือ 1.62
$n$	คือ 0.33
$D_{aq}$	สัมประสิทธิ์การแพร่ในสารละลายป้อน (diffusion coefficient)

เพราะว่า  $D_{aq} = 3.74 \times 10^{-9}$  ตารางเซนติเมตรต่อวินาที และเมื่อแทนค่าคงที่ต่างๆ ในสมการ (5.93)

ถึง (5.95) แล้วสามารถคำนวณค่า  $k_i$  ได้มีค่าเท่ากับ  $1.19 \times 10^{-5}$  เซนติเมตรต่อวินาที

การคำนวณหาค่าสัมประสิทธิ์การถ่ายเทนมวลของเยื่อแผ่นเกล้า ( $k_m$ ) สามารถคำนวณได้จากสมการ (3.8)

$$k_m = \frac{\varepsilon D_m}{\tau r_i \ln\left(\frac{r_o}{r_i}\right)} \quad (3.8)$$

โดยที่

$\tau$  คือ tortusity of the fiber membrane เท่ากับ 2.6

$\varepsilon$  คือ porosity of the fiber membrane เท่ากับ 0.3

$D_m$  คือ ค่าสัมประสิทธิ์การแพร่ผ่านแมมนเบรน เท่ากับ  $3.22 \times 10^{-9}$  ตารางเซนติเมตรต่อวินาที

$r_i$  คือ รัศมีภายนอกของเส้นใยกลวง เท่ากับ  $1.2 \times 10^{-2}$  ชนติเมตร

$r_o$  คือ รัศมีภายนอกของเส้นใยกลวง เท่ากับ  $1.5 \times 10^{-2}$  เซนติเมตร

เมื่อแทนค่าต่างๆ ลงในสมการ (3.8) แล้วสามารถคำนวณค่า  $k_m$  ซึ่งมีค่าเท่ากับ  $1.39 \times 10^{-7}$  เซนติเมตรต่อวินาที

## บทสรุป

แบบจำลองทางคณิตศาสตร์ถูกสร้างขึ้นจากมุมมองของแต่ละกลุ่มนักวิจัย เพื่อใช้อธิบายกลไกการถ่ายเทนมวลของไอออนโลหะที่ต้องการสกัด โดยการสร้างแบบจำลองทางคณิตศาสตร์สำหรับเยื่อแผ่นเหลวที่มีตัวรองรับสามารถแบ่งออกได้ตามชนิดของเยื่อแผ่น ซึ่งชนิดแรกเป็นเยื่อแผ่นชนิดراب และชนิดที่สองเป็นเยื่อแผ่นชนิดเส้นใยกลวง ในส่วนของเยื่อแผ่นชนิดราบนั้นกลุ่มนักวิจัยได้สร้างแบบจำลองทางคณิตศาสตร์ที่อธิบายขึ้นด้วยการแพร่ผ่านของไอออนโลหะในแต่ละวัสดุจากสมการฟลักซ์ แล้วแก้สมการเพื่อหาค่าความเข้มข้นของไอออนโลหะของทั้งสามวัสดุ โดยการสกัดด้วยเยื่อแผ่นชนิดราบพนว่าความเข้มข้นของสารละลายป้อนจะมีค่าเท่ากันตลอดในทุกทิศทางขณะที่ปฏิกิริยาการสกัดจะเกิดขึ้น ได้เร็วมากและพร้อมกันในทุกทิศทางของเยื่อแผ่นราบ ทั้งนี้เป็นเพราะมีการปั่นกวนสารละลายอยู่ตลอดเวลา นอกจากนี้จากการผลีศึกษาการสกัดเพรซีโอดิเมียมด้วยเยื่อแผ่นชนิดราบ ได้นำเอาแบบจำลองทางคณิตศาสตร์หาค่าเบอร์เช่นต์การสกัดเบอร์เช่นต์การนำกลับ สัมประสิทธิ์การกระจาย สัมประสิทธิ์การซึมผ่าน และสัมประสิทธิ์การ

ถ่ายเทนวัลในวัฏภากสารคล้ายปื้อน และในวัฏภากเยือแผ่นเหลว สำหรับเยือแผ่นชนิดเด็นไยกหลวงสารคล้ายปื้อนจะไหลเข้าไปตามท่อ ซึ่งทำให้ความเข้มข้นเปลี่ยนแปลงไปตามแนวแกนของท่อ ลงน้ำในการสร้างแบบจำลองทางคณิตศาสตร์จึงแตกต่างกัน โดยสิ้นเชิง โดยนักวิจัยได้สร้างแบบจำลองทางคณิตศาสตร์เพื่ออธิบายการถ่ายเทนวัลของ ไอออน โลหะที่ผ่านวัฏภัตต่างๆ ด้วยอิทธิพลของปฏิกิริยาการสกัดและปฏิกิริยาการนำกลับ พร้อมทั้งได้ยกตัวอย่างกรณีศึกษาการสกัดไอออน กองแครง นอกจากนี้นักวิจัยยังได้สร้างแบบจำลองทางคณิตศาสตร์ของเยือแผ่นชนิดเด็นไยกหลวง เพื่อหาค่าฟลักซ์ แล้วยกตัวอย่างกรณีศึกษาการสกัด ไอออนยูเรเนียม แทนกาลัน และในไอโอบียม

## คำถามท้ายบท

1. ระบบเยื่อแผ่นเหลวที่มีตัวพยุงด้วยชนิดราบประกอบด้วยอะไรบ้าง
2. กลไกการแพร่ของไอออนโลหะมิทั่นตอน อะไรบ้าง
3. กลไกการแพร่ของไอออนโลหะคุกอธิบายด้วยแบบจำลองทางคณิตศาสตร์ได้
4. ค่าพารามิเตอร์ที่สร้างจากแบบจำลองทางคณิตศาสตร์ในการฝึกศึกษาการสกัดไอออนเพรซิโอดิเมี่ยมด้วยเยื่อแผ่นชนิดราบมีค่าใดบ้าง
5. สัมประสิทธิ์การถ่ายเทน้ำในวัสดุภาชนะละลายป้อนและในวัสดุภาชนะเยื่อแผ่นเหลวสามารถหาค่าได้อย่างไร
6. แบบจำลองทางคณิตศาสตร์ของเยื่อแผ่นเหลวที่พยุงด้วยเส้นไยกวงประกอบด้วยแบบจำลองใดบ้าง
7. ค่าความเข้มข้นที่สร้างจากแบบจำลองทางคณิตศาสตร์ของเยื่อแผ่นเหลวที่พยุงด้วยเส้นไยกวงมีหลักการอย่างไร
8. หลักการสร้างแบบจำลองทางคณิตศาสตร์ของเยื่อแผ่นเหลวที่มีตัวพยุงด้วยชนิดราบต่างจากของเยื่อแผ่นเหลวที่พยุงด้วยเส้นไยกวงอย่างไร
9. ฟลักซ์คืออะไร
10. การสร้างแบบจำลองทางคณิตศาสตร์ของเยื่อแผ่นเหลวที่พยุงด้วยเส้นไยกวงใช้วิธีใด
11. การหาค่าอันดับปฏิกิริยาและค่าคงที่ของอัตราการเกิดปฏิกิริยาทำได้อย่างไร
12. ที่สภาวะคงตัวค่าฟลักซ์เป็นอย่างไร
13. พารามิเตอร์ใดบ้างที่สามารถหาค่าได้จากการ
14. เหตุใดความเข้มข้นของสารละลายป้อนในระบบเยื่อแผ่นเหลวที่มีตัวพยุงด้วยชนิดราบจึงมีค่าเท่ากันทุกทิศทาง
15. การที่แบบจำลองทางคณิตศาสตร์ของเยื่อแผ่นเหลวสองชนิดต่างกันเป็นเพราะเหตุใด